

Paper Type: Original Article



The Application of the Data Envelopment Analysis Method in Investigating the Performance of Irrigated Wheat Producers with an Environmental Approach

Fatemeh Zargaran¹, Mahmoud Daneshvar Kakhki¹ , Leili Abolhassani¹, Elnaz Nejatiyanpour¹ , Mahmoud Sabouhi Sabouni^{1,*}

¹ Department of Agricultural Economics, Ferdowsi University of Mashhad, Mashhad, Iran; fateme.zargaran96@yahoo.com; daneshvar@um.ac.ir; labolhasani@um.ac.ir; nejatiyanpour.elnaz@gmail.com; sabouhi@um.ac.ir.

Citation:



Zargaran, F., Daneshvar Kakhki, M., Abolhassani, L., Nejatiyanpour, E., & Sabouhi Sabouni, M. (2024). The application of the data envelopment analysis method in investigating the performance of irrigated wheat producers with an environmental approach. *Innovation management and operational strategies*, 5(1), 109-132.

Received: 10/10/2023

Reviewed: 25/11/2023

Revised: 14/12/2023

Accepted: 24/01/2024

Abstract

Purpose: In this study, the technical efficiency and environmental efficiency of irrigated wheat producers in 31 provinces of the country were investigated by considering the emission of CO₂ as an undesirable output during the years 2006-2018.

Methodology: Data envelopment analysis and the Malmquist productivity index were used under natural disposability and managerial disposability. In the Malmquist index, the amount of wheat production was used as the desired output, and the amount of carbon dioxide emission from the production of irrigated wheat was used as the undesirable output. To determine the amount of CO₂ emission, the carbon dioxide emission coefficients related to each production input and the amount of their use in the study area were used.

Findings: The results of the Malmquist productivity index with the absence of border crossing showed that under the natural disposability, Khorasan-Razavi has the highest index value. Kermanshah province has strong efficiency, and Fars has weak technical efficiency in irrigated wheat cultivation. Also, the results under managerial disposability showed that East Azerbaijan has the highest efficiency. Ardabil, Bushehr, Fars, Kermanshah, and Hormozgan, with ten years of Malmquist productivity index more than one, East Azerbaijan, West Azerbaijan, Chaharmahal and Bakhtiari, North Khorasan, Kurdistan, and Lorestan had a six-year history of Malmquist productivity index less than one. The results of Malmquist's productivity index with the occurrence of border crossing show that under natural disposability, this index is more than one in all provinces. It is, although, under managerial disposability, less than one in all provinces.

Originality/Value: It is suggested to calculate the technical and environmental efficiency for other crops and to estimate the amount of CO₂, N₂O and CH₄ greenhouse gas emissions as unwanted outputs. The Malmquist productivity index model can be done based on agro-ecological zoning for each province or country. Considering the global warming and climate change phenomenon, the provinces that have more environmental efficiency in blue wheat production should be prioritised for cultivation.

Keywords: Malmquist productivity index, Technical efficiency, Environmental efficiency, Irrigation wheat.



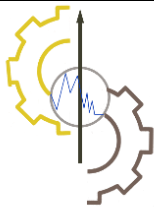
Corresponding Author: sabouhi@um.ac.ir



10.22105/imos.2024.447601.1336



Licensee: **Innovation Management & Operational Strategies**. This article is an open access article distributed under the terms and conditions of the Creative Commons Attribution (CC BY) license (<http://creativecommons.org/licenses/by/4.0>).



کاربرد روش تحلیل پوششی داده‌ها در بررسی عملکرد تولیدکنندگان گندم آبی با رویکرد محیط‌زیستی

فاطمه زرگران^۱، محمود دانشور کاخکی^۱، لیلی ابوالحسنی^۱، الناز نجاتیان‌پور^۱، محمود صبوچی صابونی^{۱*}

^۱گروه اقتصاد کشاورزی، دانشگاه فردوسی مشهد، مشهد، ایران.

چکیده

هدف: در مطالعه حاضر کارایی فنی و کارایی محیط‌زیستی تولیدکنندگان گندم آبی ۳۱ استان کشور با لحاظ کردن انتشار گاز CO_2 به‌عنوان ستانده نامطلوب طی سال‌های زراعی ۱۳۸۵-۱۳۹۷ بررسی شد.

روش‌شناسی پژوهش: روش تحلیل پوششی داده‌ها و شاخص بهره‌وری مالم کوئیست تحت دسترسی طبیعی و مدیریتی به‌کار گرفته شد. مقدار تولید گندم به‌عنوان ستانده مطلوب، میزان انتشار دی‌اکسید کربن حاصل از تولید گندم آبی به‌عنوان ستانده نامطلوب در شاخص مالم کوئیست استفاده شد. جهت تعیین میزان انتشار گاز CO_2 از ضرایب انتشار میزان انتشار دی‌اکسید کربن هر نهاده تولیدی و میزان استفاده آن‌ها در منطقه مورد مطالعه استفاده شد.

یافته‌ها: نتایج شاخص بهره‌وری مالم کوئیست با عدم وقوع تقاطع مرزی نشان داد تحت دسترسی طبیعی استان خراسان رضوی بالاترین مقدار شاخص را داشته است. استان کرمانشاه کارایی قوی و استان فارس کارایی فنی ضعیف در کشت گندم آبی دارند. تحت دسترسی مدیریتی آذربایجان شرقی بالاترین کارایی را دارد و استان‌های اردبیل، بوشهر، فارس، کرمانشاه و هرمزگان با ده سال سابقه شاخص بهره‌وری مالم کوئیست بیش‌تر از یک، استان‌های آذربایجان شرقی، آذربایجان غربی، چهارمحال و بختیاری، خراسان شمالی، کردستان و لرستان با شش سال سابقه شاخص بهره‌وری مالم کوئیست کمتر از یک مواجه بودند. نتایج شاخص بهره‌وری مالم کوئیست با وقوع تقاطع مرزی نشان می‌دهد که تحت دسترسی طبیعی این شاخص در همه استان‌ها بیش‌تر از یک است. تحت دسترسی مدیریتی در همه استان‌ها کم‌تر از یک است.

اصالت/ارزش افزوده علمی: پیشنهاد می‌شود کارایی فنی و کارایی محیط‌زیستی را برای سایر محصولات زراعی محاسبه نمود و میزان انتشار گازهای گلخانه‌ای CO_2 ، N_2O و CH_4 را به‌عنوان ستانده نامطلوب برآورد کرد. الگوی شاخص بهره‌وری مالم کوئیست را می‌توان بر اساس پهنه‌بندی اگرواکولوژیکی برای هر استان یا هر کشور انجام داد. با توجه به گرم شدن کره زمین و پدیده تغییر اقلیم استان‌هایی که کارایی محیط‌زیستی بیشتری در تولید گندم آبی دارند در اولویت کشت قرار بگیرند.

کلیدواژه‌ها: شاخص بهره‌وری مالم کوئیست، کارایی فنی، کارایی محیط‌زیستی، گندم آبی.

۱- مقدمه

بخش کشاورزی به دلیل تاثیر قابل‌توجهی که در حل چالش‌های اقتصادی-اجتماعی مانند رشد اقتصادی، تامین امنیت غذایی و استقلال ملی، توسعه پایدار و حفظ محیط‌زیست دارد، از اهمیت بالایی برخوردار است. امنیت غذایی بدون توجه به پایداری محیط‌زیستی غیرممکن است. با افزایش جمعیت و نیاز به تامین غذا، باید به کارایی تولید در سیستم زراعی توجه شود، زیرا افزایش تولید فعلی به علت افزایش مصرف منابع زراعی مانند آب، خاک، کودهای شیمیایی و سموم شیمیایی رخ می‌دهد. اگر این شرایط پایدار نباشد، توازن میان نیازهای انسان و بهره‌برداری مطلوب از منابع از بین خواهد رفت. سوزاندن سوخت‌های فسیلی و استفاده از کودهای شیمیایی در کشاورزی باعث مصرف بالای انرژی و انتشار گازهای گلخانه‌ای می‌شود. بخش کشاورزی با محدودیت منابع و افزایش تقاضا برای محصولات غذایی روبه‌رو است که ممکن است آثار جانبی منفی بر محیط‌زیست داشته باشد. یکی از چالش‌های عمده محیط‌زیست در قرن بیست و یکم افزایش انتشار گازهای گلخانه‌ای است [1]. انتشار بیش‌ازحد گازهای گلخانه‌ای از طریق فعالیت‌های مربوط به انسان از مهم‌ترین علل تغییرات اقلیمی به شمار می‌رود. تولید محصولات کشاورزی ۱۹٪ تا

۲۹٪ از انتشار گازهای گلخانه‌ای جهان را شامل می‌شود [2]. طبق گزارش آژانس بین‌المللی انرژی (IEA) در سال ۲۰۲۱ کشور ایران در جمع ده کشور با بیش‌ترین میزان انتشار گازهای گلخانه‌ای قرار گرفت. بخشی از انتشار گازهای گلخانه‌ای مربوط به کشاورزی است که سوخت‌های فسیلی یکی از منابع اصلی این انتشارات است [3]. کشاورزی ایران با ۱۳ میلیون تن انتشار CO_2 در سال ۲۰۱۹ بیشترین میزان انتشار گاز CO_2 در این بخش را در بین سایر کشورهای منطقه خاورمیانه داشته است. شاخص عملکرد محیط‌زیست (EPI) به دو هدف اصلی حفاظت از محیط‌زیست و مدیریت منابع طبیعی تأکید می‌کند. در سال ۲۰۲۰، در بین ۱۸۰ کشور جهان، ایران رتبه ۶۷ را در شاخص عملکرد محیط‌زیست کسب کرده است و در بخش تغییر اقلیم، ایران و مصر به صورت مشترک رتبه ۷۴ را به دست آورده‌اند که نرخ رشد انتشار CO_2 بر آن موثر است [4]. کارایی محیط‌زیست زمانی افزایش می‌یابد که اثرات محیط‌زیستی ناشی از فعالیت‌های اقتصادی یا مصرف منابع طبیعی در فرآیند تولید، کاهش یابد؛ بنابراین بهبود کارایی محیط‌زیستی برای توسعه پایدار ضروری است [5]. گندم به عنوان اصلی‌ترین مواد غذایی بشر، مهم‌ترین محصول زراعی و حیاتی‌ترین کالا در الگوی مصرفی خانوارهای جهان محسوب می‌شود [6]، [7]. سطح زیر کشت گندم دنیا در سال ۲۰۱۹، ۲۲۵ میلیون هکتار با تولید ۷۷۲ میلیون تن است. میزان عملکرد گندم در جهان همواره رو به افزایش بوده و میزان آن از ۲۹۷۲ کیلوگرم در هکتار در سال ۲۰۱۰ به ۳۵۴۶ کیلوگرم در هکتار در سال ۲۰۱۹ به بالاترین میزان عملکرد افزایش یافته است [4]. طبق آمارنامه کشاورزی در سال زراعی ۱۳۹۹-۱۳۹۸ سطح زیر کشت گندم کشور ۶ میلیون هکتار است که ۱/۷۵٪ از گندم جهان را تولید می‌کند. سطح زیر کشت گندم آبی و دیم کشور به ترتیب ۱/۹۶ و ۴/۰۴ میلیون هکتار می‌باشد. کشت گندم در بیش‌تر استان‌های ایران رایج است، از این رو گندم به عنوان اصلی‌ترین محصول کشاورزی کشور، مهم‌ترین عامل انتشار گاز دی‌اکسید کربن در کشاورزی است. جدول ۱ رتبه‌بندی استان‌های کشور بر اساس میزان انتشار CO_2 ناشی از کشت گندم آبی را نشان می‌دهد [8].

جدول ۱- رتبه‌بندی استان‌های کشور بر اساس میزان انتشار CO_2 ناشی از کشت گندم آبی.

Table 1- Ranking of the country's provinces based on the amount of CO_2 emissions caused by water wheat cultivation.

رتبه	استان	متوسط مقدار انتشار گاز دی‌اکسید کربن حاصل از تولید گندم آبی برای هر هکتار (کیلوگرم)	رتبه	استان	متوسط مقدار انتشار گاز دی‌اکسید کربن حاصل از تولید گندم آبی برای هر هکتار (کیلوگرم)
1	فارس	9045	17	گلستان	1522
2	البرز	2121	18	ایلام	1518
3	قم	1963	19	خوزستان	1505
4	اصفهان	1921	20	چهارمحال و بختیاری	1468
5	قزوین	1731	21	خراسان جنوبی	1446.7
6	هرمزگان	1658	22	کردستان	1446.5
7	تهران	1652	23	خراسان شمالی	1436.5
8	سمنان	1649	24	لرستان	1415
9	جنوب کرمان	1594.7	25	زنجان	1413
10	اردبیل	1594	26	مازندران	1382
11	خراسان رضوی	1591	27	کهگیلویه و بویر احمد	1371
12	یزد	1577	28	آذربایجان غربی	1343
13	همدان	1560	29	آذربایجان شرقی	1335
14	مرکزی	1588	30	بوشهر	1303
15	کرمانشاه	1540	31	سیستان و بلوچستان	1271.4
16	کرمان	1537			

ماخذ: داده‌های وزارت جهاد کشاورزی از سال ۱۳۸۵ تا ۱۳۹۷

بر اساس جدول ۱ همان‌طور که مشاهده می‌گردد برای سال‌های زراعی ۱۳۸۵ تا ۱۳۹۷، استان فارس با متوسط انتشار ۹۰۴۵ کیلوگرم گاز دی‌اکسید کربن حاصل از تولید هر هکتار گندم آبی بیش‌ترین انتشار گاز دی‌اکسید کربن را دارد و با توجه به اینکه استان فارس دومین تولیدکننده گندم به روش آبی در کشور می‌باشد با ۲/۷۷ میلیون تن گاز دی‌اکسید کربن حاصل از تولید گندم آبی در سطح استان فارس بالاترین میزان انتشار گاز دی‌اکسید کربن را دارد که ناشی از مصرف بالای سوخت است. استان فارس با متوسط ۶۵/۲۷ میلیون ساعت استفاده از ماشین‌آلات در سال‌های زراعی

۱۳۸۵ تا ۱۳۹۷، بالاترین مصرف سوخت را در بین استان‌های دیگر دارد. استان سیستان و بلوچستان با متوسط انتشار ۱۲۷۱/۴ کیلوگرم گاز دی‌اکسید کربن حاصل از تولید هر هکتار گندم آبی کم‌ترین انتشار گاز دی‌اکسید کربن را دارد.

۲- مبانی نظری و پیشینه پژوهش

رابطه بین عملکرد گندم و انتشار گاز دی‌اکسید کربن حاصل از تولید آن بسیار اهمیت دارد. با توجه به اینکه گندم محصول راهبردی کشور است و میزان انتشار دی‌اکسید کربن قابل توجهی دارد و در راستای ایجاد جامعه‌ای سازگار با محیط‌زیست و حفظ منابع طبیعی، اندازه‌گیری و مقایسه بهره‌وری، پیشرفت فنی، کارایی فنی و کارایی محیط‌زیستی تولیدکنندگان گندم آبی در سطح استان‌های کشور از اهمیت ویژه‌ای برخوردار بوده که هدف اصلی این مطالعه است. در این زمینه مطالعات زیادی در داخل و خارج کشور انجام شده که در ادامه به تعدادی از آن‌ها اشاره خواهد شد.

رضوان طلب و همکاران [9] شاخص‌های انرژی و انتشار گازهای گلخانه‌ای در تولید گندم در استان گلستان را ارزیابی کردند. تجزیه و تحلیل انرژی بر مبنای میزان نهاده مصرفی به ازای هر واحد آن و همچنین انتشار سه گاز گلخانه‌ای CO_2 ، N_2O و CH_4 ناشی از مصرف انرژی برای تولید نهاده‌های کشاورزی و انجام عملیات مختلف زراعی نیز انجام شد. نتایج نشان داد که به‌طور میانگین از هر هکتار گندم ۱۴۱۴ کیلوگرم معادل دی‌اکسید کربن در هکتار به جو آزاد می‌شود. واحدی [10] در مطالعه‌ای با استفاده از تحلیل پوششی داده‌ها، الگوی مصرف انرژی و کارایی مزارع گندم آبی استان البرز را بررسی کردند. نتایج تحقیق نشان داد از ۲۰ مزرعه مورد مطالعه، در الگوی بازده به مقیاس ثابت ۲۰٪ و در الگوی بازده به مقیاس متغیر ۵۰٪ کشاورزان کارا هستند. متوسط کارایی فنی، کارایی فنی خالص و کارایی مقیاس در این مزارع بر مبنای الگوهای CCR و BCC ورودی محور به ترتیب برابر با ۰/۸۹۳، ۰/۹۹۰ و ۰/۹۰۱ محاسبه شده است. بیش‌ترین سهم از کل انرژی مصرفی در تولید گندم آبی به ترتیب به نهاده‌های شیمیایی و سوخت با ۴۳/۰۶٪ و ۲۲/۹۳٪ تعلق دارد. بلالی و همکاران [11] میزان بهینه اقتصادی مصرف کودهای شیمیایی (ازته، فسفات و پتاسه) در تولید گندم و جو آبی در ایران با روش بیزین را مورد مطالعه قرار دادند. نتایج نشان داد که میانگین مصرف بهینه کودهای شیمیایی ازته، فسفات و پتاسه در تولید گندم آبی به ترتیب ۱۱۷/۰۵، ۹۷/۷۱ و ۳۹/۶۸ کیلوگرم در هکتار است؛ به‌طوری‌که میانگین مصرف بهینه کودهای شیمیایی به ترتیب ۴۶/۵۶، ۲۵/۳۴ و ۱۰/۹۵ کیلوگرم در هکتار، کم‌تر از مقدار فعلی مصرف کودهای شیمیایی در کشور است.

الاسراگ و آلازکان [12] مطالعه‌ای با هدف سنجش میزان بهره‌وری ۲۷ استان تولیدکننده گندم در دوره زمانی ۲۰۱۲-۱۹۹۰ انجام دادند. از شاخص *TFP Global Malmquist* به‌عنوان روش ناپارامتریک استفاده کردند که PC تولید گندم با میانگین سالانه ۰/۸۷٪ رشد یافته و سهم مولفه تغییر فنی ۲۵/۷٪ و سهم مولفه تغییر کارایی ۳/۷٪ اندازه‌گیری شده که تغییر فنی از اهمیت بیشتری برخوردار است. بیشترین تغییر بهره‌وری کل عوامل جهانی مالم کوئیست (PC) در استان سوهق با نرخ (۳۹/۴۰٪)، بهیرا (۳۳/۳۴٪)، منوفیا (۲۷/۶۹٪) و اسویت و فانوم (۲۱/۷۱٪) رخ داده و استان‌های باقی‌مانده بهره‌وری کمتری دارند. هونگ و همکاران [13] در مطالعه‌ای از شاخص *Malmquist* برای تحلیل روابط بین بخش کشاورزی چین و انتشار دی‌اکسید کربن استفاده کردند و توصیه کردند سیاست‌های مختلف انتشار CO_2 با توجه به وضعیت واقعی در مناطق مختلف باید اتخاذ شود و ارتقا صنعتی برای افزایش راندمان تولید می‌تواند باعث کاهش انتشار CO_2 به‌منظور بهبود محیط‌زیست شود. الاحی و همکاران [14] جهت بهینه‌سازی برای بهبود بهره‌وری انرژی و ارزیابی انتشار گازهای گلخانه‌ای گندم از تحلیل پوششی داده‌ها استفاده کردند. این مطالعه در مناطق مهم پنجاب، پاکستان به‌صورت تصادفی انتخاب و بررسی شد و الگوی مصرف انرژی و میزان کارایی فنی واحدهای تصمیم‌گیری ($DMUs$) با استفاده از DEA مورد بررسی قرار گرفت. میانگین کارایی فنی، کارایی فنی خالص و کارایی مقیاس $DMUs$ به ترتیب ۰/۶۶۸، ۰/۷۷۶ و ۰/۸۲۸ است. طبق بررسی ۷۴٪ از واحدهای تصمیم‌گیری در حال کار کاهش بازده نسبت به مقیاس بود. اگر این نهاده‌ها مطابق با مقدار بهینه ۲۹۳۸۸/۵۲ مگاژول در هکتار استفاده و مدیریت شوند می‌توانند ۱۴/۶۵٪ از منابع را ذخیره کنند که در نهایت مقدار مساوی عملکرد گندم اضافه می‌کند. میانگین انتشار گازهای گلخانه‌ای ۸۶۶/۴۳ معادل دی‌اکسید کربن در هکتار محاسبه شد. ون لی [15] در مطالعه‌ای با استفاده از تحلیل پوششی داده‌ها و شاخص مالم کوئیست به برآورد بهره‌وری انرژی بخش‌های زراعت، جنگلداری، دامداری و شیلات با داده‌های تابلویی پنج استان در کشور چین طی سال‌های ۲۰۱۵-۲۰۰۴ پرداختند. نتایج نشان داد استان‌های مرکزی نسبت به استان‌های ثروتمند ساحل شرقی از کارایی انرژی کشاورزی کم‌تری بهره‌مند هستند. قاسمی مبتکر و همکاران [16] کشت گندم استان همدان با روش ارزیابی چرخه حیات (LCA) از جنبه‌های مصرف انرژی، ارزش اقتصادی و اثرات محیط‌زیستی را تحلیل کردند. نتایج نشان داد که میزان انتشار CO_2 حاصل از سوخت دیزل در عملیات مختلف کشت گندم ۴۲۶/۶۴ کیلوگرم در هکتار و پتانسیل گرمایش جهانی ۶۲۴/۲ کیلوگرم معادل CO_2 است.

در تحقیقات و مطالعات بررسی شده برای محاسبه میزان بهره‌وری و کارایی روش‌های مختلفی از جمله تابع تولید ترانسلوگ، تابع تولید کاب داگلاس، روش بیزین، روش ارزیابی چرخه حیاتی و شاخص مالم کوئیست مورد استفاده قرار گرفته است. در اکثر موارد برای بررسی رابطه انرژی نهاده‌های مصرفی و میزان انتشار گازهای گلخانه‌ای و پتانسیل گرمایش جهانی و تعیین مقدار بهینه نهاده‌ها از روش تحلیل پوششی داده‌ها استفاده شده است. در برخی از مطالعات نیز عوامل تاثیرگذاری همچون میزان تحصيلات کشاورزان، شرایط آب و هوایی، استفاده بیشتر از ماشین‌آلات، استفاده از سوخت‌های فسیلی و برق، مصرف بیش از حد سموم و مواد شیمیایی، روش‌های خاک‌ورزی و فناوری‌های جدید و غیره آورده شده است. با توجه به اینکه تاکنون مطالعه‌ای در ایران در رابطه با محاسبه شاخص بهره‌وری مالم کوئیست برای گندم آبی با رویکرد محیط‌زیستی صورت نگرفته است، مطالعه‌ی حاضر اولین مطالعه در ایران است که به تحلیل‌های فوق برای ۳۱ استان کشور می‌پردازد.

۳- روش پژوهش

در ادامه برای ارزیابی عملکرد تولیدکنندگان گندم آبی استان‌های کشور از سال ۱۳۸۵ تا ۱۳۹۷ از شاخص بهره‌وری مالم کوئیست استفاده می‌شود. در ابتدا مفهوم بهره‌وری، کارایی محیط‌زیستی و تحلیل پوششی داده‌ها تشریح و سپس به معرفی متغیرهای الگو پرداخته شده است.

از دیدگاه اقتصادی شاخص بهره‌وری مطرح‌ترین معیار سنجش عملکرد است و اقدام به اندازه‌گیری آن اساسی‌ترین گام در جهت ارتقا کارایی و بهره‌وری است، بدین معنا که مشخص می‌کند دقیقاً چه منابعی صرف شده و در قبال آن چه چیزی حاصل شده است [17]. سازمان همکاری‌های اقتصادی اروپا (OECD)، در سال ۱۹۵۰ بهره‌وری را به صورت نسبت میزان محصول به یکی از عوامل تولید تعریف نمود و سامانت در سال ۱۹۷۹ بهره‌وری را نسبتی از خروجی‌های ملموس به ورودی‌های ملموس تعریف می‌کند [18]. از آنجایی که منابع تولید کمیاب هستند، برای حداکثر کردن تولید محصولات راهبردی کشاورزی لازم است میزان عملکرد استان‌ها با توجه به نهاده‌های کمیاب مصرفی بخش کشاورزی مانند آب در دسترس و زمین زراعی افزایش یابد. هر تلاشی برای افزایش کارایی و بهره‌وری شامل کمی کردن، تجزیه و تحلیل و برنامه‌ریزی، در چرخه بهبود بهره‌وری قرار می‌گیرد. اندازه‌گیری تغییرات فناوری و تغییرات کارایی مهم‌ترین گام برای هرگونه تحلیل و بهبود عملکرد است.

راه‌های مختلفی برای محاسبه کارایی محیط‌زیستی وجود دارد. چهار نمونه از مهم‌ترین روش‌ها عبارت است از روش حداقل مربعات، شاخص بهره‌وری کل عوامل (TEP)، تحلیل پوششی داده‌ها (DEA) و مرزهای تصادفی. این چهار روش را می‌توان با توجه به مبنای مختلفی از جمله قدرت تشخیص ناکارایی، پارامتریک یا ناپارامتریک بودن، فرضیه‌های رفتاری و یا تشخیص خطاهای تصادفی دسته‌بندی کرد [19]. روش انتخاب‌شده در مطالعه حاضر روش تحلیل پوششی داده‌ها است. در ادامه به تفصیل روش مورد استفاده و متغیرها را مورد مطالعه توضیح داده شده تا ضمن درک عمیق‌تر، چرایی انتخاب آن‌ها نیز مشخص شود.

۳-۱- تحلیل پوششی داده‌ها

تحلیل پوششی داده‌ها یک رویکرد ناپارامتریک است که نیازی به مشخص نمودن فرم تابعی ندارد و از روش‌های برنامه‌ریزی ریاضی استفاده، کارایی هر واحد تصمیم‌ساز را نسبت به سایرین سنجیده و موقعیت هر DMU نسبت به مرز کارایی مقایسه می‌کند. نگرشی بسیار مفید و کارآمد در DEA ، شاخص بهره‌وری مالم کوئیست (MPI) است. این رویکرد ناپارامتریک نخستین بار توسط چارنز، کوپر و رودز [20] ارایه شد. در این روش منحنی مرزی کارا از یک سری نقاط که به وسیله برنامه‌ریزی خطی تعیین می‌شود ایجاد شده و موقعیت هر استان که روی مرز کارایی قرار گرفته است یا نه را مشخص می‌نماید. بدین وسیله استان‌های کارا و ناکارا از یکدیگر تفکیک می‌شوند. تحلیل پوششی داده‌ها با توجه به فناوری تولیدی مورد استفاده در الگو، به دو نوع بازدهی ثابت به مقیاس و بازدهی متغیر به مقیاس تقسیم می‌شوند. فرض بازدهی ثابت نسبت به مقیاس بیانگر این است که با تغییر سهم نهاده‌ها، ستانده‌ها نیز به همان نسبت تغییر می‌کنند. به کار بردن الگوهای بازده ثابت نسبت به مقیاس زمانی مناسب است که همه واحدهای تصمیم‌ساز در مقیاس بهینه یعنی قسمت مسطح منحنی هزینه متوسط بلندمدت عمل کنند اما عواملی از قبیل عدم وجود رقابت کامل، محدودیت‌های مالی و غیره ممکن است باعث شوند که واحدها در مقیاس بهینه عمل نکنند؛ بنابراین فرض بازدهی متغیر نسبت به مقیاس بیانگر این است که با تغییر نهاده‌ها، ستانده‌ها به همان نسبت تغییر نمی‌کنند. الگوهای بازدهی متغیر نسبت به مقیاس نیز خود به سه الگوی بازده نسبت به مقیاس افزایشی (IRS)، بازدهی نسبت به مقیاس کاهشی (DRS) و بازده نسبت به مقیاس عمومی (GRS) تقسیم می‌شود. الگوی تحلیل پوششی

داده‌ها می‌توانند محصول‌گرا یا نهاده‌گرا باشند. در الگوهای محصول‌گرا هدف حداکثر کردن تولید با توجه به مقدار معین نهاده‌ها می‌باشد، اما در روش نهاده‌گرا هدف حداقل استفاده از نهاده‌ها با توجه به یک سطح معین محصول است [21].

۳-۲- الگوی تجربی تحقیق با به‌کارگیری تحلیل پوششی داده‌ها

در این مطالعه متغیرهای مورد استفاده شامل مقدار تولید گندم به‌عنوان ستانده مطلوب (O)، میزان انتشار دی‌اکسید کربن از تولید گندم آبی به‌عنوان ستانده نامطلوب (U) در شاخص مالم کوئیست استفاده می‌شوند. مقدار تامین آب از منابع مختلف (I_1)، هزینه آماده‌سازی زمین (I_2)، مقدار مصرف کودهای شیمیایی (I_3)، مقدار مصرف سموم شیمیایی (I_4)، تعداد نفر-روز نیروی کار (I_5)، تعداد ساعت استفاده از ماشین‌آلات (I_6)، مقدار مصرف کود حیوانی (I_7) و مقدار بذر مصرفی (I_8) به‌عنوان نهاده مورد استفاده قرار گرفته و تحلیل پوششی داده‌ها با بازده ثابت به مقیاس در نظر گرفته شده است. جامعه آماری این مطالعه کل کشور بوده و اطلاعات مورد استفاده در بعد استانی و به تفکیک ۳۱ استان کشور جمع‌آوری می‌گردد. استان گیلان به دلیل مجاورت با دریای خزر، بهره‌گیری از باران، رطوبت کافی و خاک‌های آبرفتی یکی از قطب‌های کشاورزی و حاصلخیزی کشور بوده و در تولید محصولات کشاورزی و تامین نیازهای غذایی نقش اساسی دارد. استقرار استان گیلان در ارتفاعات البرز و در حاشیه دریای خزر و تاثیر متقابل این دو پدیده جغرافیایی بر یکدیگر و بازتاب آن بر شرایط اقلیمی استان، ایجاب می‌کند کشاورزان استان گیلان محصول گندم را به‌صورت دیم کشت کنند. طبق آمارنامه کشاورزی در سال‌های زراعی مورد بررسی سطح زیر کشت گندم آبی استان گیلان بسیار ناچیز است پس استان گیلان کارایی فنی و کارایی محیط‌زیستی گندم آبی هم ندارد و به دلیل همگنی دیگر استان‌ها می‌توان در جامعه آماری مورد مطالعه ارزیابی نگردد. اطلاعات مورد استفاده مطالعه در بازه زمانی سال‌های زراعی ۱۳۸۵ تا ۱۳۹۷ جمع‌آوری شده است، به دلیل عدم دسترسی داده‌ها و اطلاعات زراعی سال‌های ۱۳۹۷ تا ۱۴۰۰ در نظر گرفته نشده است. برای اندیس‌ها، پارامترها و متغیرهای الگوهای مورد استفاده، نمادهایی در نظر گرفته شده که در جدول ۲ ارائه شده است.

جدول ۲- نمادهای در نظر گرفته شده برای اندیس‌ها و پارامترهای مورد استفاده.

Table 2- Symbols considered for indices and parameters used.

مشخصات اندیس	اندیس	مشخصات اندیس	اندیس
تعداد نهاده (آب/مترمکعب، اجاره زمین/هزار ریال، بذر/کیلوگرم، کود شیمیایی/کیلوگرم، کود حیوانی/کیلوگرم، سموم شیمیایی/کیلوگرم، تعداد نیروی کار/نفر در سال و ماشین‌آلات/تعداد ساعت در سال)	i	تعداد واحد تصمیم‌گیرنده	j
تعداد ستانده مطلوب (مقدار گندم آبی/تن در سال)	r	تعداد ستانده نامطلوب (میزان انتشار گاز دی‌اکسید کربن/کیلوگرم در سال)	f
مشخصات پارامتر	پارامتر	مشخصات پارامتر	پارامتر
متغیرهای کمکی مربوط به نهاده‌ها	S_i^I	دامنه ستانده‌های مطلوب	D_r^O
متغیرهای کمکی مربوط به ستانده‌های مطلوب	S_r^O	دامنه ستانده‌های نامطلوب	D_f^U
متغیرهای مربوط به ستانده‌های نامطلوب	S_f^U	یک بردار ستونی از متغیرهای ناشناخته ستانده مطلوب	λ_j
دامنه ^۱ نهاده‌ها	D_i^I	متغیر عددی ناشناخته	ε

با توجه به اینکه مصرف سوخت ماشین‌آلات کشاورزی تابع عوامل و متغیرهای متعددی نظیر مشخصات فنی ماشین، عمر ماشین، ساعت کارکرد، نوع عملیات، نوع محصول، عملکرد محصول، نوع خاک، اندازه و پراکندگی قطعات و شرایط آب و هوایی می‌باشد که در حال حاضر توسط سیستم‌های نظارتی و توزیع‌کننده سوخت قابل کنترل نیست لذا ضرورت دارد سازوکارهای مناسبی در تامین سوخت و یا پرداخت یارانه مربوطه اعمال شود، از طرفی ماشین‌آلات کشاورزی نیز در کنار سایر نهاده‌های کشاورزی نظیر کود، سم و غیره می‌بایستی به‌طور موثر و با بهره‌وری در تولید پایدار محصولات اساسی کشاورزی قرار گیرند. با توجه به مشخص بودن سطح زیر کشت گندم آبی هر استان و میزان ساعات کارکرد مورد نیاز جهت

¹ Range

انجام عملیات مکانیزه سطح مذکور و میانگین مصرف سوخت ساعتی ماشین‌آلات کشاورزی و مشخص بودن ضریب انتشار گاز گلخانه‌ای نهاده‌ها در تولید گندم آبی می‌توان میزان انتشار گاز CO_2 ناشی از عوامل تولید را به‌عنوان خروجی نامطلوب محاسبه کرد.

در مطالعه حاضر برای تخمین میزان انتشار از فاکتورهای انتشار (EF) استفاده شده است. فاکتورهای انتشار ضرایبی هستند که در میزان انتشار ناشی از عوامل مختلف تولیدکننده گازهای گلخانه‌ای ضرب شده و میزان انتشار را به کیلوگرم دی‌اکسید کربن، اکسید نیتروس و غیره تبدیل می‌کنند [22]. رابطه (۱) به‌صورت زیر تعریف می‌شود:

$$E = \sum (C_i F_i). \quad (1)$$

که در آن E مجموع انتشار CO_2 از عوامل تولید و C_i با ضریب تبدیل انتشار دی‌اکسید کربن مناسب برای هر عامل F_i ضرب شده است. ضریب انتشار گاز گلخانه‌ای نهاده‌ها در تولید گندم آبی در جدول ۳ ارائه شده است.

جدول ۳- ضریب انتشار گاز گلخانه‌ای نهاده‌ها در تولید گندم آبی.

Table 3- Greenhouse gas emission coefficient of inputs in water wheat production.

مرجع	ضریب انتشار گاز گلخانه‌ای (کیلوگرم معادل دی‌اکسید کربن بر واحد)	نهاده (واحد)
[23]	0/2	کود فسفر (P_2O_5) (کیلوگرم)
[23]	1/3	کود نیتروژن (N) (کیلوگرم)
[23]	0/15	کود پتاسیم (K_2O) (کیلوگرم)
[24]	0/126	کود دامی (FYM)
[23]	3/9	سم قارچ کش (لیتر یا کیلوگرم)
[23]	6/3	سم علف کش (لیتر یا کیلوگرم)
[23]	5/1	سم حشره کش (لیتر یا کیلوگرم)
[25]	2/64	سوخت دیزل (لیتر)

فرضیات پژوهش به شرح ذیل است که پذیرش یا عدم پذیرش هر کدام از فرضیات موردبررسی قرار می‌گیرد:

۱. کارایی محیط‌زیستی در تولید گندم آبی در استان‌های ایران طی سال‌های موردبررسی کاهش یافته است.
۲. کارایی فنی در تولید گندم آبی در استان‌های ایران طی سال‌های موردبررسی افزایش یافته است.

۳-۳- شاخص بهره‌وری مالم کوئیست

شاخص مالم کوئیست ابتدا در سال ۱۹۵۳ توسط استن مالم کوئیست^۱ به‌عنوان شاخص کیفیت به‌صورت نسبت‌های توابع مسافت^۲ و یا توابع فاصله و به‌منظور تجزیه و تحلیل مصرف منابع تولید معرفی و سپس در سال ۱۹۸۲ توسط کیوز و همکاران [26] به‌عنوان شاخصی برای اندازه‌گیری بهره‌وری مطرح شد. فار و همکاران [27] برای محاسبه شاخص مالم کوئیست از روش تحلیل پوششی داده‌ها استفاده کردند، این شاخص تغییرات بهره‌وری کل را اندازه‌گیری می‌کند و بهره‌وری کل را به دو جز تغییرات کارایی فنی (رسیدن به مرز کارایی) و تغییرات فناوری (انتقال مرز کارایی) تفکیک می‌نماید. شاخص بهره‌وری مالم کوئیست در راستای ستانده دوره‌های t و $t-1$ به‌صورت زیر تعریف می‌گردد:

$$M^t = \frac{D_t^t(I_i^t, Z_i^t)}{D_t^t(I_i^{t-1}, Z_i^{t-1})}. \quad (2)$$

اگر فناوری دوره $t-1$ به‌عنوان فناوری مرجع استفاده شود، شاخص مالم کوئیست برای DMU_i و $i = 1, 2, 3, \dots, n$ بین دوره t و $t-1$ به‌صورت زیر است:

¹ Estan Malmquist

² Distance function

$$M^{t-1} = \frac{D_i^{t-1}(I_i^t, Z_i^t)}{D_i^{t-1}(I_i^{t-1}, Z_i^{t-1})} \quad (۳)$$

که در آن نماد $D_i^{t-1}(I_i^t, Z_i^t)$ به تابع مسافت مشاهدات دوره t با فناوری به دوره $t-1$ اشاره دارد. به منظور اجتناب از انتخاب اختیاری فناوری پایه، شاخص بهره‌وری کل عوامل تولید برحسب میانگین هندسی این دو عبارت بیان می‌شود، یعنی

$$M^{t-1} = [D_i^{t-1}(I_i^t, Z_i^t) \times D_i^{t-1}(I_i^{t-1}, Z_i^{t-1}) / D_i^t(I_i^t, Z_i^t) \times D_i^t(I_i^{t-1}, Z_i^{t-1})]^{1/2} \quad (۴)$$

که این عبارت قابل تفکیک به دو بخش است.

$$D_i^t(I_i^t, Z_i^t) / D_i^{t-1}(I_i^{t-1}, Z_i^{t-1}) [D_i^{t-1}(I_i^t, Z_i^t) / D_i^t(I_i^t, Z_i^t) \times D_i^{t-1}(I_i^{t-1}, Z_i^{t-1}) / D_i^t(I_i^{t-1}, Z_i^{t-1})]^{1/2} \quad (۵)$$

رابطه بالا تغییر بهره‌وری از دوره $t-1$ به دوره t را با به کار بردن فناوری دوره $t-1$ به عنوان یک شاخص و فناوری دوره t به عنوان یک شاخص به ترتیب در کسر اول و دوم اندازه می‌گیرد. همان‌طور که بیان شد شاخص بهره‌وری مالم کوئیست بین دو دوره زمانی را می‌توان به دو جز تجزیه کرد.

$$EC = D_i^t(I_i^t, Z_i^t) / D_i^{t-1}(I_i^{t-1}, Z_i^{t-1}) \quad (۶)$$

$$TC = [D_i^{t-1}(I_i^t, Z_i^t) / D_i^t(I_i^t, Z_i^t) \times D_i^{t-1}(I_i^{t-1}, Z_i^{t-1}) / D_i^t(I_i^{t-1}, Z_i^{t-1})]^{1/2} \quad (۷)$$

EC تغییرات کارایی فنی و TC تغییرات فناوری که انتقال تابع مرزی بین دو دوره t و $t-1$ را اندازه می‌گیرد. اگر EC بزرگ‌تر از یک باشد پیشرفت کارایی DMU (نزدیک به مرز تولید)، اگر EC مساوی با یک باشد بدون تغییر کارایی و اگر EC کوچک‌تر از یک باشد پسرفت کارایی DMU موردنظر از دوره $t-1$ به دوره t (دور از مرز تولید) است. حاصل ضرب دو نسبت داخل کروشه، تغییرات تابع مرزی را طی دو دوره زمانی $t-1$ و t محاسبه می‌کند. تابع مسافت z در صورتی که بر روی مرز مجموعه تولید (منحنی امکانات تولید) باشد معادل یک خواهد بود. در این جا $D_i^t(I_i^{t-1}, Z_i^{t-1})$ نشان‌دهنده فاصله زمانی مشاهدات $t-1$ تا t است. مقدار M^{t-1} اگر بزرگ‌تر از یک باشد، نشان‌دهنده رشد مثبت بهره‌وری کل عوامل طی زمان $t-1$ تا t است و هنگامی که از یک کوچک‌تر باشد سیر نزولی بهره‌وری کل عوامل را نشان می‌دهد. بنابراین با استفاده از این روش می‌توان دریافت که چه میزان از بهره‌وری به دلیل استفاده کارا از عوامل تولید و نیز چه مقدار به دلیل تغییرات ناشی از فناوری بوده است [28]. چنانچه میزان شاخص مالم کوئیست بر مبنای حداقل سازی عوامل تولید، کمتر از یک باشد، بر بهبود عملکرد دلالت دارد و اگر بزرگ‌تر از یک باشد به کاهش عملکرد در زمان اشاره می‌نماید. از طرف دیگر، اگر مبنای حداکثر سازی محصول باشد؛ چنانچه مقدار شاخص مالم کوئیست کمتر از واحد شود، عملکرد بنگاه بدتر شده است و اگر مقدار شاخص مذکور بزرگ‌تر از یک باشد نشان‌دهنده بهبود عملکرد آن بنگاه خواهد بود. در معادله (۵) کسر خارج از کمانک، معادله (۶) تغییرات کارایی را در زمان‌ها $t-1$ و t اندازه‌گیری می‌نماید. قسمت داخل کمانک، معادله (۷) تغییرات فناوری را اندازه‌گیری می‌کند یعنی تغییرات کارایی نشان‌دهنده نسبت کارایی در زمان $t-1$ به کارایی در زمان t است. در معادله (۷) کسر اول داخل کمانک نشان‌دهنده فناوری زمان $t-1$ و کسر دوم مربوط به فناوری زمان t می‌باشد که به صورت میانگین هندسی این دو نشان داده می‌شود.

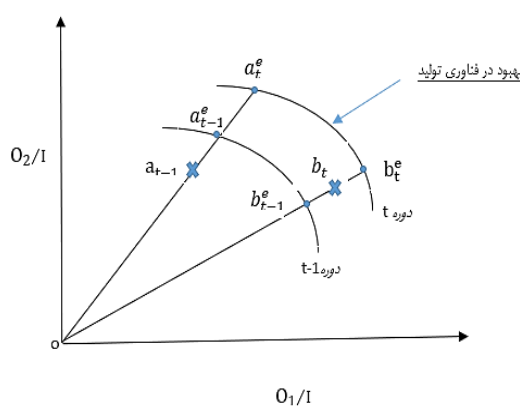
برای هر بنگاه یا واحد تصمیم‌ساز در هر زمان باید چهار تابع مسافت را محاسبه کرد. روش‌های بسیاری برای اندازه‌گیری توابع مسافت وجود دارد و معروف‌ترین آن‌ها روش برنامه‌ریزی خطی می‌باشد. با داشتن داده‌های تلفیقی می‌توان از روش تحلیل پوششی داده‌ها برای محاسبه بهره‌وری کل و اجزای آن استفاده نمود. در شرط فناوری با بازده ثابت نسبت به مقیاس این چهار تابع به صورت زیر خواهد بود. اصطلاح «کارایی» که در این جا استفاده می‌شود یک معیار عملکرد بین ۰٪ (ناکارآمدی کامل) و ۱۰۰٪ (کارایی کامل) است. در همین حال، اصطلاح دیگری «شاخص» برای بیان معیاری که ممکن است بیش از واحد (۱۰۰٪) باشد، استفاده می‌شود. هنگامی که شاخص بیش از واحد باشد، نشان‌دهنده وقوع احتمالی تغییر مرز به دلیل توسعه فناوری و یا تلاش مدیریتی است در مقابل، اگر مساوی یا کمتر از واحد باشد، حالت مخالف را می‌توان یافت. در این مطالعه چهار شکل به عنوان مبنای تحلیلی برای محاسبه شاخص مالم کوئیست با وقوع تقاطع مرزی و عدم وقوع تقاطع مرزی تحت دو مفهوم دسترسی طبیعی و دسترسی مدیریتی عمل می‌کنند [19].

دسترسی طبیعی^۱

این مفهوم اشاره بر آن دارد که یک واحد تصمیم‌ساز (DMU) تلاش خود را به کاهش خروجی‌های نامطلوب با کاهش ورودی‌ها اختصاص داده است. می‌توان آن را به عنوان یک استراتژی انفعالی برای مقررات محیط‌زیستی در نظر گرفت.

دسترسی طبیعی با عدم وقوع تقاطع مرزی

همان‌طور که در شکل ۱ مشاهده می‌شود تغییر خط مرزی از دوره $t-1$ را به دوره زمانی t تحت دسترسی طبیعی نشان می‌دهد؛ که در آن DMU_S عملکرد عملیاتی^۲ خود را در اولویت اول و عملکرد محیط‌زیستی^۳ را در اولویت دوم در نظر می‌گیرد و شامل یک نهاد I و دو ستانده مطلوب O_1 و O_2 می‌باشد. فرض می‌شود مقدار ستانده نامطلوب U برای همه DMU_S یکسان است لذا تاثیر بر تغییر مرز ندارند.



شکل ۱- تغییر مرز بین دو دوره $t-1$ و t تحت دسترسی طبیعی.

Figure 1- Changing the boundary between t and $t-1$ periods under natural access.

همان‌طور که در ادامه در معادلات پیشنهادی DEA مشاهده می‌شود، این توصیف بصری به راحتی به چندین نهاد و ستاده مطلوب قابل گسترش است. a_{t-1} تا a_{t-1}^e عملکرد مشاهده‌شده واحد تصمیم‌گیری DMU روی مرز کارایی دوره $t-1$ و a_t^e روی مرز کارایی دوره t در مدت زمان $t = 2, \dots, T$ پیش‌بینی شده است. همچنین b_t تا b_{t-1}^e عملکرد مشاهده‌شده واحد تصمیم‌گیری DMU روی مرز کارایی دوره $t-1$ و b_t^e روی مرز کارایی دوره t پیش‌بینی شده است. بالانویس e نمایانگر مرز کارایی که عملکرد مشاهده‌شده در آن نمایش داده می‌شود. پیشرفت فناوری در ستانده‌های مطلوب بین دو دوره، خط مرزی را در مسیر شمال-شرق انتقال می‌دهد که به دلیل بهبود فناوری است. مرز کارایی دسترسی طبیعی به سمت افزایش ستانده مطلوب بدون هیچ‌گونه تلاقی مرزی بین دو دوره تغییر می‌کند. میانگین هندسی که نشان‌دهنده شاخص مال‌کوئیست تحت دسترسی طبیعی است توسط معادله زیر بیان می‌شود:

$$IN_{t-1}^t = [Oa_t^e \times Ob_t^e / Oa_{t-1}^e \times Ob_{t-1}^e]^{1/2}. \quad (8)$$

معادلات تحت دسترسی طبیعی

برای اندازه‌گیری IN_{t-1}^t و INC_{t-1}^t شش مولفه وجود دارد که در ادامه بیان شده است؛ چهار مولفه اول تحت دسترسی طبیعی با عدم وقوع تقاطع مرزی و دو مولفه دیگر تحت دسترسی طبیعی با وقوع تقاطع مرزی است.

$$1. \quad UEN_{t-1}^R \text{ کارایی یکپارچه در دوره } t-1.$$

$$2. \quad UEN_t^R \text{ کارایی یکپارچه در دوره } t.$$

$$3. \quad IUIN_{t-1-t}^R \text{ شاخص یکپارچه بین دوره زمانی } t-1 \text{ تا } t.$$

¹ Natural disposability

² Operational performance

³ Environmental performance

۴. $IUIN_{t \rightarrow t-1}^R$ شاخص یکپارچه بین دوره زمانی t تا $t-1$.

۵. $IUEN_{t-1 \rightarrow t-1 \& t}^R$ کارایی یکپارچه بین دوره زمانی $t-1$ تا مجموع $t-1$ و t .

۶. $IUEN_{t \rightarrow t-1 \& t}^R$ کارایی یکپارچه بین دوره زمانی t تا مجموع $t-1$ و t .

شاخص مالم کوئیست را بین دو دوره $t-1$ و t با عدم وقوع تقاطع مرزی را می توان به صورت زیر بازنویسی کرد:

$$IN_{t-1}^t = [Oa_t^e \times Ob_t^e / Oa_{t-1}^e \times Ob_{t-1}^e]^{1/2} \quad (9)$$

$$\Rightarrow IN_{t-1}^t = [UEN_{t-1}^R \times IUIN_{t \rightarrow t-1}^R / IUIN_{t-1 \rightarrow t}^R \times UEN_t^R]^{1/2}.$$

تمام معیارهای کارایی و شاخص با اندازه گیری شعاعی R تحت دسترسی طبیعی و بازده ثابت نسبت به مقیاس تعیین می شود. جایی UEN_{t-1}^R و $IUEN_{t-1 \rightarrow t}^R$ دو معیار کارایی هستند که در محدوده بین صفر (ناکارایی کامل) و یک (کارایی کامل) قرار دارند، درحالی که $IUIN_{t-1 \rightarrow t}^R$ و $IUIN_{t \rightarrow t-1}^R$ ممکن است بزرگ تر یا کوچک تر از یک باشند که به وقوع تقاطع مرزی بین دو دوره بستگی دارند. این معیارها را می توان توسط پنج الگوی DEA معادله کرد که هرکدام از آن ها به صورت زیر مشخص شده اند.

معادلات تحت دسترسی طبیعی با عدم وقوع تقاطع مرزی

مقدار UEN_t^R برای DMU ، Kth در دوره t ($t = 2, \dots, T$) با الگوی زیر نشان داده شده است:

$$\begin{aligned} & \text{Maximize } \xi + \varepsilon \left(\sum_{i=1}^m D_i^I S_i^{I-} + \sum_{r=1}^n D_r^O S_r^O + \sum_{f=1}^h D_f^U S_f^U \right) \\ & \sum_{j \in J_T} I_{ijt} \lambda_{jt} + S_i^{I-} = I_{jkt} \quad k \in J_T \text{ and } i = 1, \dots, m, \\ & \sum_{j \in J_T} O_{rjt} \lambda_{jt} - S_r^O - \xi O_{rkt} = O_{rkt} \quad k \in J_T \text{ and } r = 1, \dots, n, \\ & \sum_{j \in J_T} U_{fjt} \lambda_{jt} + S_f^U + \xi U_{fkt} = U_{fkt} \quad k \in J_T \text{ and } f = 1, \dots, h, \end{aligned} \quad (10)$$

$$\lambda_{jt} \geq 0 \quad j = 1, \dots, n \text{ and } t = 2, \dots, T, \quad \xi : URS, S_i^{I-} \geq 0 \quad i = 1, \dots, m,$$

$$S_r^O \geq 0 \quad r = 1, \dots, n, \quad S_f^U \geq 0 \quad f = 1, \dots, h,$$

که کران بالا و پایین نهاده ها، ستانده های مطلوب و نامطلوب به ترتیب توسط معادلات زیر مشخص شده است:

$$\begin{aligned} D_i^I &= (m+n+h)^{-1} \left(\max \{ I_{ij} J_{t-1} J_t \} - \min \{ I_{ij} J_{t-1} J_t \} \right)^{-1}, \\ D_r^O &= (m+n+h)^{-1} \left(\max \{ O_{rj} J_{t-1} J_t \} - \min \{ O_{rj} J_{t-1} J_t \} \right)^{-1}, \\ D_f^U &= (m+n+h)^{-1} \left(\max \{ U_{fj} J_{t-1} J_t \} - \min \{ U_{fj} J_{t-1} J_t \} \right)^{-1}. \end{aligned} \quad (11)$$

مقدار $IUIN_{t-1 \rightarrow t}^R$ برای DMU ، Kth از دوره $t-1$ به دوره t ($t = 2, \dots, T$) با الگوی زیر نشان داده شده است:

$$\begin{aligned}
& \text{Maximize } \xi + \varepsilon \left(\sum_{i=1}^m D_i^l S_i^{l-} + \sum_{r=1}^n D_r^o S_r^o + \sum_{f=1}^h D_f^u S_f^u \right) \\
& \sum_{j \in J_T} I_{ijt} \lambda_{jt} + S_i^{l-} = I_{jkt-1} \quad k \in J_T \text{ and } i = 1, \dots, m, \\
& \sum_{j \in J_T} O_{rjt} \lambda_{jt} - S_r^o - \xi O_{rkt-1} = O_{rkt-1} \quad k \in J_T \text{ and } r = 1, \dots, n, \\
& \sum_{j \in J_T} U_{fjt} \lambda_{jt} + S_f^u + \xi U_{fkt-1} = U_{fkt-1} \quad k \in J_T \text{ and } f = 1, \dots, h, \\
& j = 1, \dots, n \text{ and } t = 2, \dots, T, \xi: \text{ URS}, S_i^{l-} \geq 0 \quad i = 1, \dots, m, \lambda_{jt} \geq 0, \\
& S_f^u \geq 0 \quad f = 1, \dots, h, \quad S_r^o \geq 0 \quad r = 1, \dots, n.
\end{aligned} \tag{۱۲}$$

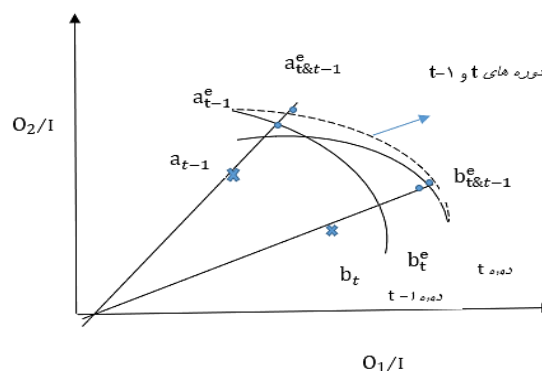
مقدار $IUIN_{t \rightarrow t-1}^R$ برای DMU، Kth از دوره t به دوره $t-1$ با الگوی زیر نشان داده شده است:

$$\begin{aligned}
& \text{Maximize } \xi + \varepsilon \left(\sum_{i=1}^m D_i^l S_i^{l-} + \sum_{r=1}^n D_r^o S_r^o + \sum_{f=1}^h D_f^u S_f^u \right) \\
& \sum_{j \in J_T} I_{ijt-1} \lambda_{jt-1} + S_i^{l-} = I_{jkt} \quad k \in J_T \text{ and } i = 1, \dots, m, \\
& \sum_{j \in J_T} O_{rjt-1} \lambda_{jt-1} - S_r^o - \xi O_{rkt} = O_{rkt} \quad k \in J_T \text{ and } r = 1, \dots, n, \\
& \sum_{j \in J_T} U_{fjt-1} \lambda_{jt-1} + S_f^u + \xi U_{fkt} = U_{fkt} \quad k \in J_T \text{ and } f = 1, \dots, h, \\
& j = 1, \dots, n \text{ and } t = 2, \dots, T, \xi: \text{ URS}, S_i^{l-} \geq 0 \quad i = 1, \dots, m, \lambda_{jt-1} \geq 0, \\
& S_f^u \geq 0 \quad f = 1, \dots, h, \quad S_r^o \geq 0 \quad r = 1, \dots, n.
\end{aligned} \tag{۱۳}$$

دسترسی طبیعی با احتمال وقوع تقاطع مرزی

همان‌طور که در شکل ۲، مشاهده می‌شود خط مرزی از دوره $t-1$ را به دوره t زمان t تحت دسترسی طبیعی به صورت خط نقطه‌چین بالای منحنی انتقال می‌یابد که نشانگر مرز جدید برای دوره‌های t و $t-1$ است. برای دستیابی به وضعیت کارایی a_{t-1} و b_{t-1} نیاز به تغییر مکان خود به $a_{t \& t-1}^e$ و $b_{t \& t-1}^e$ روی مرز جدید است [29]. میانگین هندسی نشان‌دهنده شاخص مالم کوئست تحت دسترسی طبیعی است توسط معادله زیر بیان می‌شود:

$$INC_{t-1}^t = [Oa_{t \& t-1}^e \times Ob_{t \& t-1}^e / Oa_{t-1}^e \times Ob_t^e]^{1/2}. \tag{۱۴}$$



شکل ۲- تقاطع مرزی بین دو دوره t و $t-1$ تحت دسترسی طبیعی.

Figure 2- Boundary intersection between two periods t and $t-1$ under natural access.

معادلات دسترسی طبیعی با احتمال وقوع تقاطع مرزی

همان‌طور که در شکل ۲ مشاهده گردید، معادله (۱۴) تحت دسترسی طبیعی توسط الگوی زیر با تقاطع مرزی بیان می‌شود:

$$\begin{aligned}
& INC_{t-1}^t = [Oa_{t \& t-1}^e \times Ob_{t \& t-1}^e / Oa_{t-1}^e \times Ob_t^e]^{1/2} \\
& \Rightarrow INC_{t-1}^t = [UEN_{t-1}^R \times UEN_t^R / IUEN_{t-1 \rightarrow t-1 \& t}^R \times IUEN_{t \rightarrow t-1 \& t}^R]^{1/2},
\end{aligned} \tag{۱۵}$$

که در آن INC_{t-1}^t به چهار جز فرعی تقسیم می‌شود که همه آن‌ها $(I_{t-1 \rightarrow t-1 \& t}^R, I_{t-1 \rightarrow t-1 \& t}^R, I_{t-1 \rightarrow t-1 \& t}^R, I_{t-1 \rightarrow t-1 \& t}^R)$ برای DMU Kth بین دو دوره با الگوی زیر نشان داده شده است:

$$\begin{aligned} & \text{Maximize } \xi + \varepsilon \left(\sum_{i=1}^m D_i^l S_i^{l-} + \sum_{r=1}^n D_r^o S_r^o + \sum_{f=1}^h D_f^u S_f^u \right) \\ & \sum_{j \in J_T} I_{ijt-1 \& t} \lambda_{jt-1 \& t} + S_i^{l-} = I_{ikt-1} \quad k \in J_T \text{ and } i = 1, \dots, m, \\ & \sum_{j \in J_T} O_{rjt-1 \& t} \lambda_{jt-1 \& t} - S_r^o - \xi O_{rkt-1} = O_{rkt-1} \quad k \in J_T \text{ and } r = 1, \dots, n, \\ & \sum_{j \in J_T} U_{fjt-1 \& t} \lambda_{jt-1 \& t} + S_f^u + \xi U_{fkt-1} = U_{fkt-1} \quad k \in J_T \text{ and } f = 1, \dots, h, \\ & j = 1, \dots, n \text{ and } t = 2, \dots, T, \xi: URS, S_i^{l-} \geq 0 \quad i = 1, \dots, m) \lambda_{jt-1 \& t} \geq 0, \\ & S_f^u \geq 0 \quad f = 1, \dots, h, \quad S_r^o \geq 0 \quad r = 1, \dots, n. \end{aligned} \quad (16)$$

مقدار $I_{t-1 \rightarrow t-1 \& t}^R$ برای DMU Kth بین دو دوره t و $t-1$ توسط الگوی زیر نشان داده شده است:

$$\begin{aligned} & \text{Maximize } \xi + \varepsilon \left(\sum_{i=1}^m D_i^l S_i^{l-} + \sum_{r=1}^n D_r^o S_r^o + \sum_{f=1}^h D_f^u S_f^u \right) \\ & \sum_{j \in J_T} I_{ijt-1 \& t} \lambda_{jt-1 \& t} + S_i^{l-} = I_{ikt} \quad k \in J_T \text{ and } i = 1, \dots, m, \\ & \sum_{j \in J_T} O_{rjt-1 \& t} \lambda_{jt-1 \& t} - S_r^o - \xi O_{rkt} = O_{rkt} \quad k \in J_T \text{ and } r = 1, \dots, n, \\ & \sum_{j \in J_T} U_{fjt-1 \& t} \lambda_{jt-1 \& t} + S_f^u + \xi U_{fkt} = U_{fkt} \quad k \in J_T \text{ and } f = 1, \dots, h, \\ & j = 1, \dots, n \text{ and } t = 2, \dots, T, \xi: URS, S_i^{l-} \geq 0 \quad i = 1, \dots, m) \lambda_{jt-1 \& t} \geq 0, \\ & S_f^u \geq 0 \quad f = 1, \dots, h, \quad S_r^o \geq 0 \quad r = 1, \dots, n. \end{aligned} \quad (17)$$

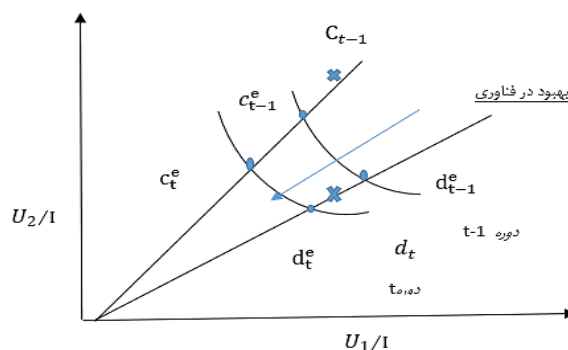
دسترسی مدیریتی^۱

این مفهوم اشاره بر آن دارد که یک واحد تصمیم‌ساز DMU تلاش خود را به افزایش ورودی‌ها به منظور افزایش خروجی‌های مطلوب و کاهش خروجی‌های نامطلوب اختصاص داده است. به طور خاص، واحد تصمیم‌ساز تغییرات مقررات محیط‌زیست را به عنوان یک فرصت تجاری برای ارتقای بهره‌وری یکپارچه با استفاده از پیشرفت فناوری و روش‌های مدیریت علمی در نظر می‌گیرد؛ که می‌توان آن را به عنوان یک راهبرد مثبت در جهت مقررات محیط‌زیستی در نظر گرفت. در یک کلام، سرمایه‌گذاری بیشتر و انتشار کمتر (CO_2) است.

دسترسی مدیریتی با عدم وقوع تقاطع مرزی

همان‌طور که در شکل ۳ مشاهده می‌شود تغییر خط مرزی از دوره $t-1$ را به دوره زمانی t تحت دسترسی مدیریتی نشان می‌دهد که در آن DMU_S عملکرد محیط‌زیستی خود را در اولویت اول و عملکرد عملیاتی را در اولویت دوم در نظر می‌گیرد که شامل یک نهاده I و دو ستانده نامطلوب U_1 و U_2 می‌باشد. فرض می‌شود مقدار ستانده مطلوب O برای همه DMU_S یکسان است لذا تاثیر بر تغییر مرز ندارد. c_{t-1}^e تا c_{t-1}^e عملکرد مشاهده شده واحد تصمیم‌گیری DMU روی مرز کارایی دوره $t-1$ و c_t^e روی مرز کارایی دوره t در مدت زمان $t = 2, \dots, T$ پیش‌بینی شده است.

¹ Managerial disposability



شکل ۳- تغییر مرز بین دو دوره t و t-1 تحت دسترسی مدیریتی.

Figure 3- Changing the border between the two periods t and t-1 under managerial access.

همچنین d_t تا d_{t-1}^e عملکرد مشاهده شده واحد تصمیم‌گیری DMU روی مرز کارایی دوره $t-1$ و d_t^e روی مرز کارایی دوره t پیش‌بینی شده است. تغییر خط مرزی به سمت مسیر جنوب غرب بدون هیچ‌گونه تلاقی مرزی بین دو دوره حرکت می‌کند با این فرض که پیشرفت فناوری در ستانده نامطلوب رخ دهد. میانگین هندسی که نشان‌دهنده شاخص مالم کوئیست تحت دسترسی مدیریتی است توسط معادله زیر بیان می‌شود:

$$IM_{t-1}^t = [Oc_{t-1}^e \times Od_{t-1}^e / Oc_t^e \times Od_t^e]^{1/2}. \quad (17)$$

معادلات تحت دسترسی مدیریتی

برای اندازه‌گیری IM_{t-1}^t و IMC_{t-1}^t شش مولفه وجود دارد که در زیر آورده شده است که چهار مولفه اول تحت دسترسی مدیریتی با عدم وقوع تقاطع مرزی و دو مولفه دیگر تحت دسترسی مدیریتی با وقوع تقاطع مرزی است.

۱. UEM_{t-1}^R کارایی یکپارچه در دوره $t-1$.
۲. UEM_t^R کارایی یکپارچه در دوره t .
۳. $IUIM_{t-1 \rightarrow t}^R$ شاخص یکپارچه بین دوره زمانی $t-1$ تا t .
۴. $IUIM_{t \rightarrow t-1}^R$ شاخص یکپارچه بین دوره زمانی t تا $t-1$.
۵. $IUEM_{t-1 \rightarrow t \& t}^R$ کارایی یکپارچه بین دوره زمانی $t-1$ تا مجموع t و $t-1$.
۶. $IUEM_{t \rightarrow t-1 \& t}^R$ کارایی یکپارچه بین دوره زمانی t تا مجموع t و $t-1$.

تمام معیارهای کارایی و شاخص با اندازه‌گیری شعاعی R تحت دسترسی مدیریتی و بازده ثابت نسبت به مقیاس تعیین می‌شود.

معادلات تحت دسترسی مدیریتی با عدم وقوع تقاطع مرزی

شاخص مالم کوئیست را بین دو دوره t و $t-1$ با عدم وقوع تقاطع مرزی را می‌توان به صورت زیر بازنویسی کرد:

$$IM_{t-1}^t = [Oc_{t-1}^e \times Od_{t-1}^e / Oc_t^e \times Od_t^e]^{1/2} \quad (18)$$

$$\Rightarrow IM_{t-1}^t = [UEM_{t-1}^R \times IUIM_{t \rightarrow t-1}^R / IUIM_{t-1 \rightarrow t}^R \times UEM_t^R]^{1/2}.$$

این اقدامات را می‌توان توسط پنج الگو DEA معادله کرد که هرکدام از آن‌ها به صورت زیر مشخص شده‌اند. مقدار UEM_t^R برای DMU ، Kth در دوره t ($t = 2, \dots, T$) با الگوی زیر نشان داده شده است:

$$\begin{aligned}
 & \text{Maximize } \xi + \varepsilon \left(\sum_{i=1}^m D_i^l S_i^{l+} + \sum_{r=1}^n D_r^o S_r^o + \sum_{f=1}^h D_f^u S_f^u \right) \\
 & \sum_{j \in J_T} I_{ijt} \lambda_{jt} + S_i^{l+} = I_{ikt} \quad k \in J_T \text{ and } i = 1, \dots, m, \\
 & \sum_{j \in J_T} O_{rjt} \lambda_{jt} - S_r^o - \xi O_{rkt} = O_{rkt} \quad k \in J_T \text{ and } r = 1, \dots, n, \\
 & \sum_{j \in J_T} U_{fjt} \lambda_{jt} + S_f^u + \xi U_{fkt} = U_{fkt} \quad k \in J_T \text{ and } f = 1, \dots, h, \\
 & j = 1, \dots, n \text{ and } t = 2, \dots, T, \xi: \text{ URS}, S_i^{l+} \geq 0 \quad i = 1, \dots, m, \lambda_{jt} \geq 0, \\
 & S_f^u \geq 0 \quad f = 1, \dots, h, \quad S_r^o \geq 0 \quad r = 1, \dots, n.
 \end{aligned} \tag{۱۹}$$

مقدار $IUIM_{t-1 \rightarrow t}^R$ برای Kth DMU از دوره $t-1$ به دوره t ($t = 2, \dots, T$) با الگوی زیر نشان داده شده است:

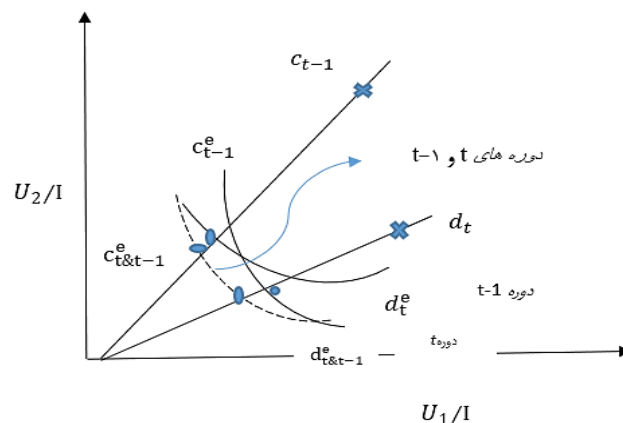
$$\begin{aligned}
 & \text{Maximize } \xi + \varepsilon \left(\sum_{i=1}^m D_i^l S_i^{l+} + \sum_{r=1}^n D_r^o S_r^o + \sum_{f=1}^h D_f^u S_f^u \right) \\
 & \sum_{j \in J_T} I_{ijt} \lambda_{jt} + S_i^{l+} = I_{ikt-1} \quad k \in J_T \text{ and } i = 1, \dots, m, \\
 & \sum_{j \in J_T} O_{rjt} \lambda_{jt} - S_r^o - \xi O_{rkt-1} = O_{rkt-1} \quad k \in J_T \text{ and } r = 1, \dots, n, \\
 & \sum_{j \in J_T} U_{fjt} \lambda_{jt} + S_f^u + \xi U_{fkt-1} = U_{fkt-1} \quad k \in J_T \text{ and } f = 1, \dots, h, \\
 & j = 1, \dots, n \text{ and } t = 2, \dots, T, \xi: \text{ URS}, S_i^{l+} \geq 0 \quad i = 1, \dots, m, \lambda_{jt} \geq 0, \\
 & S_f^u \geq 0 \quad f = 1, \dots, h, \quad S_r^o \geq 0 \quad r = 1, \dots, n.
 \end{aligned} \tag{۲۰}$$

مقدار $IUIM_{t-1 \rightarrow t}^R$ برای Kth DMU از دوره t به دوره $t-1$ ($t = 2, \dots, T$) با الگوی زیر نشان داده شده است:

$$\begin{aligned}
 & \text{Maximize } \xi + \varepsilon \left(\sum_{i=1}^m D_i^l S_i^{l+} + \sum_{r=1}^n D_r^o S_r^o + \sum_{f=1}^h D_f^u S_f^u \right) \\
 & \sum_{j \in J_T} I_{ijt-1} \lambda_{jt-1} + S_i^{l+} = I_{ikt} \quad k \in J_T \text{ and } i = 1, \dots, m, \\
 & \sum_{j \in J_T} O_{rjt-1} \lambda_{jt-1} - S_r^o - \xi O_{rkt} = O_{rkt} \quad k \in J_T \text{ and } r = 1, \dots, n, \\
 & \sum_{j \in J_T} U_{fjt-1} \lambda_{jt-1} + S_f^u + \xi U_{fkt} = U_{fkt} \quad k \in J_T \text{ and } f = 1, \dots, h, \\
 & j = 1, \dots, n \text{ and } t = 2, \dots, T, \xi: \text{ URS}, S_i^{l+} \geq 0 \quad i = 1, \dots, m, \lambda_{jt-1} \geq 0, \\
 & S_f^u \geq 0 \quad f = 1, \dots, h, \quad S_r^o \geq 0 \quad r = 1, \dots, n.
 \end{aligned} \tag{۲۱}$$

دسترس‌ی مدیریتی با احتمال وقوع تقاطع مرزی

همان‌طور که در شکل ۴ مشاهده می‌شود خط نقطه‌چین پایین منحنی مرز دوره‌های t و $t-1$ را تحت دسترسی مدیریتی نشان می‌دهد.



شکل ۴- تقاطع مرزی بین دو دوره t و $t-1$ تحت دسترسی مدیریتی.

Figure 4- Boundary intersection between two periods t and $t-1$ under management access.

در این شکل d_t و c_{t-1} باید مکان خود را به نقاط پیش‌بینی شده d_{t-1}^e و c_{t-1}^e روی مرز جدید گرفته یا همان خط نقطه‌چین برای افزایش عملکرد محیط‌زیستی آن‌ها تحت دسترسی مدیریتی منتقل شود. عملکرد همه واحدهای تصمیم‌گیری در دوره t فقط به دوره t و $t-1$ بستگی دارد نه دوره‌های دیگر. میانگین هندسی که نشان‌دهنده شاخص مالم کوئیست تحت دسترسی مدیریتی است توسط معادله زیر بیان می‌شود:

$$IMC_{t-1}^t = [Oc_{t-1}^e \times Od_t^e / Oc_{t-1}^e \times Od_{t-1}^e]^{1/2}. \quad (22)$$

معادلات تحت دسترسی مدیریتی با احتمال وقوع تقاطع مرزی

همان‌طور که در شکل ۴ مشاهده گردید، معادله (۲۲) تحت دسترسی مدیریتی توسط الگوی زیر با تقاطع مرزی بیان می‌شود:

$$IMC_{t-1}^t = [Oc_{t-1}^e \times Od_t^e / Oc_{t-1}^e \times Od_{t-1}^e]^{1/2}, \quad (23)$$

$$\Rightarrow IMC_{t-1}^t = [UEM_{t-1}^R \times UEM_t^R / IUEM_{t-1 \rightarrow t-1 \& t}^R \times IUEM_{t-1 \rightarrow t-1 \& t}^R]^{1/2}.$$

مقدار $IUEM_{t-1 \rightarrow t-1 \& t}^R$ برای DMU، Kth از دوره $t-1$ به دوره t ($t = 2, \dots, T$) با الگوی زیر نشان داده شده است:

$$\begin{aligned} & \text{Maximize } \xi + \varepsilon \left(\sum_{i=1}^m D_i^l S_i^{l+} + \sum_{r=1}^n D_r^o S_r^o + \sum_{f=1}^h D_f^u S_f^u \right) \\ & \sum_{j \in J_T} I_{ijt-1 \& t} \lambda_{jt-1 \& t} - S_i^{l+} = I_{jkt-1} \quad k \in J_T \text{ and } i = 1, \dots, m, \\ & \sum_{j \in J_T} O_{rjt-1 \& t} \lambda_{jt-1 \& t} - S_r^o - \xi O_{rkt-1} = O_{rkt-1} \quad k \in J_T \text{ and } r = 1, \dots, n, \\ & \sum_{j \in J_T} U_{fjt-1 \& t} \lambda_{jt-1 \& t} + S_f^u + \xi U_{fkt-1} = U_{fkt-1} \quad k \in J_T \text{ and } f = 1, \dots, h, \\ & j = 1, \dots, n \text{ and } t = 2, \dots, T, \xi: URS, S_i^{l+} \geq 0 \quad (i = 1, \dots, m) \lambda_{jt-1 \& t} \geq 0, \\ & S_f^u \geq 0 \quad (f = 1, \dots, h), \quad S_r^o \geq 0 \quad (r = 1, \dots, n). \end{aligned} \quad (24)$$

مقدار $IUEM_{t-1 \rightarrow t-1 \& t}^R$ برای DMU، Kth از دوره t به دوره $t-1$ ($t = 2, \dots, T$) با الگوی زیر نشان داده شده است:

$$\begin{aligned} & \text{Maximize } \xi + \varepsilon \left(\sum_{i=1}^m D_i^l S_i^{l+} + \sum_{r=1}^n D_r^o S_r^o + \sum_{f=1}^h D_f^u S_f^u \right) \\ & \sum_{j \in J_T} I_{ijt-1 \& t} \lambda_{jt-1 \& t} - S_i^{l+} = I_{jkt} \quad (k \in J_T \text{ and } i = 1, \dots, m), \\ & \sum_{j \in J_T} O_{rjt-1 \& t} \lambda_{jt-1 \& t} - S_r^o - \xi O_{rkt} = O_{rkt} \quad (k \in J_T \text{ and } r = 1, \dots, n), \\ & \sum_{j \in J_T} U_{fjt-1 \& t} \lambda_{jt-1 \& t} + S_f^u + \xi U_{fkt} = U_{fkt} \quad (k \in J_T \text{ and } f = 1, \dots, h), \\ & (j = 1, \dots, n \text{ and } t = 2, \dots, T), \xi: URS, S_i^{l+} \geq 0 \quad (i = 1, \dots, m) \lambda_{jt-1 \& t} \geq 0, \\ & S_f^u \geq 0 \quad (f = 1, \dots, h), \quad S_r^o \geq 0 \quad (r = 1, \dots, n). \end{aligned} \quad (25)$$

با اندازه‌گیری شاخص مالم کوئیست تحت دسترسی طبیعی و دسترسی مدیریتی؛ بهره‌وری، پیشرفت فنی، پیشرفت محیط‌زیستی، کارایی فنی و کارایی محیط‌زیستی تولیدکنندگان گندم آبی در ۳۱ استان کشور در افق زمانی ۱۳۸۵ تا ۱۳۹۷ با استفاده از معادلات ذکر شده با یکدیگر مقایسه شده‌اند که در بخش بعد به تجزیه و تحلیل یافته‌های پژوهش پرداخته شده است. گفتنی است که تمام مدل‌های فوق با نرم‌افزار اکسل ۲۰۱۳ و نوشتن کد و یژوال بیسیک حل شده‌اند. در پیوست الف، تصویری از ماکرو و یکی از مدل‌های حل شده نشان داده شده است.

۴- یافته‌های پژوهش

نتایج شاخص بهره‌وری مالم کوئیست گندم آبی هر استان با وجود انتشار گاز دی‌اکسید کربن برای سال‌های زراعی ۱۳۸۵ تا ۱۳۹۷ با احتمال وقوع و عدم وقوع تقاطع مرزی تحت دسترسی طبیعی و دسترسی مدیریتی در بخش بعدی مورد تجزیه و تحلیل قرار می‌گیرد.

۴-۱- نتایج شاخص بهره‌وری مالم کوئیست با عدم وقوع تقاطع مرزی

دسترسی طبیعی

نتایج به‌دست آمده از جدول ۴ نشان می‌دهد استان خراسان رضوی در سال ۱۳۸۷ نسبت به سال ۱۳۸۶ با ۲۸۲٪ رشد بهره‌وری عوامل تولید بالاترین مقدار شاخص بهره‌وری مالم کوئیست تحت دسترسی طبیعی با عدم وقوع تقاطع مرزی را داشته است و این نتیجه رشد مثبت ۲۳۷/۳٪ در تحولات فناوری و رشد مثبت ۱۳/۲۷٪ در کارایی فنی می‌باشد که دلیل بر سرمایه‌گذاری و مدیریت مناسب این استان برای افزایش تولید همراه با افزایش بهره‌وری در سال ۱۳۸۷ شده است. استان کرمانشاه از سال ۱۳۸۷ تا ۱۳۹۴ روی مرز کارایی قرار گرفته و از آنجایی که مقادیر مازاد نهاده‌های تولید برابر صفر است، این استان در کشت گندم آبی کارایی قوی دارد. استان فارس در ۹ سال موردبررسی کارایی کمتر از یک دارد که نشان‌دهنده کارایی فنی ضعیف این استان در کشت گندم آبی با وجود انتشار زیاد گاز دی‌اکسید کربن است. همچنین استان فارس بیش‌ترین مقدار بذر مصرفی در هکتار و بیش‌ترین تعداد ساعت استفاده از ماشین‌آلات را در تولید گندم آبی دارد و این استان با سهم ۴۷/۵۱٪ از انتشار گاز دی‌اکسید کربن حاصل از تولید گندم آبی به کارایی محیط‌زیستی کشت گندم آبی کشاورزان در این استان توجه نمی‌گردد.

دسترسی مدیریتی

جدول ۵ نشان می‌دهد که شاخص بهره‌وری مالم کوئیست استان آذربایجان شرقی در سال ۱۳۸۵، با ۲/۳۶ بالاترین مقدار را دارد که نتیجه پیشرفت محیط‌زیستی است. استان‌های اردبیل، بوشهر، فارس، کرمانشاه و هرمزگان با ده سال سابقه شاخص بهره‌وری مالم کوئیست بیش‌تر از یک، پیشرفت کارایی فنی بیش‌تری را در هر سال تجربه کرده‌اند همچنین استان‌های آذربایجان شرقی، آذربایجان غربی، چهارمحال و بختیاری، خراسان شمالی، کردستان و لرستان با شش سال سابقه شاخص بهره‌وری مالم کوئیست کمتر از یک مواجه بودند؛ در جایی که شاخص بهره‌وری مالم کوئیست تحت دسترسی مدیریتی بیش‌تر از یک باشد، پیشرفت محیط‌زیستی اتفاق افتاده و همچنین در صورتی که شاخص بهره‌وری مالم کوئیست کمتر از یک باشد پیشرفت محیط‌زیستی مشاهده نمی‌گردد.

۴-۲- نتایج شاخص بهره‌وری مالم کوئیست با وقوع تقاطع مرزی

دسترسی طبیعی

نتایج به‌دست آمده ارایه شده در جدول ۶ نشان می‌دهد که شاخص بهره‌وری مالم کوئیست تحت دسترسی طبیعی در همه استان‌ها بیش‌تر از یک است، همچنین استان اصفهان در سال ۱۳۸۸ کارایی بیش‌تر از یک دارد ولی نسبت به استان‌های دیگر مقدار آن کمتر است. با نگاهی به شاخص بهره‌وری مالم کوئیست استان خراسان رضوی در سال ۱۳۸۷ نسبت به سال ۱۳۸۶ بهره‌وری عوامل تولید ۱۶۳٪ رشد مثبت داشته و مرز کارایی آن طبق شکل ۳ روی مرز جدیدی به سمت شمال-شرق شکل گرفته است.

دسترسی مدیریتی

بر اساس نتایج ارایه شده در جدول ۵، شاخص بهره‌وری مالم کوئیست تحت دسترسی مدیریتی در همه استان‌ها کم‌تر از یک است که طبق شکل ۴ یعنی مرز کارایی در همه استان‌ها در مسیر جنوب-غرب انتقال یافته است. استان خراسان شمالی با مقدار ۰/۰۷ کم‌ترین مقدار بهره‌وری را داشته و استان‌های فارس، خوزستان و کرمان به ترتیب با ۰/۸۴۹، ۰/۸۴ و ۰/۷۶ بهره‌وری بیش‌تری داشته‌اند.

جدول ۴- شاخص مالم کوئیست تحت دسترسی طبیعی: عدم تقاطع مرزی.

Table 4- Malmquist index under natural access: no border crossing.

استان	1385	1386	1387	1388	1389	1390	1391	1392	1393	1394	1395	1396
آذربایجان شرقی	0.422	1.157	1.196	0.876	1.236	1	0.736	1.115	1.073	0.707	1.496	0.73
آذربایجان غربی	0.613	1.043	1.073	1.040	0.898	1.159	0.852	1.198	1	0.92	1.094	0.831
اردبیل	0.935	1	1	1	0.848	1.231	0.699	1.113	0.976	0.992	0.956	0.827
اصفهان	0.518	0.693	0.925	1.09	1.356	1.071	0.821	1.05	1.235	0.84	1.027	1.007
البرز						1.006	0.9	1.086	1	1	0.957	1.007
ایلام	0.658	0.396	1.185	0.944	0.952	1.091	0.915	1	1	1	1	0.841
بوشهر	0.808	1.179	0.952	0.919	0.972	1.136	1	0.972	1	0.993	1	0.95
تهران	0.587	1.098	1.063	1	0.967	1.063	0.656	1.455	1	1	1	0.827
جنوب کرمان	0.996	1.009	0.957	1.364	0.949	1.077	1.039	1.2	1.077	1.023	1	0.865
چهارمحال و بختیاری	0.662	1.154	1.033	0.695	0.928	1.291	0.949	1.024	1.027	0.982	0.907	1.019
خراسان جنوبی	0.512	0.849	0.873	1.398	0.635	1.413	0.8	0.913	1.056	1.014	0.914	0.996

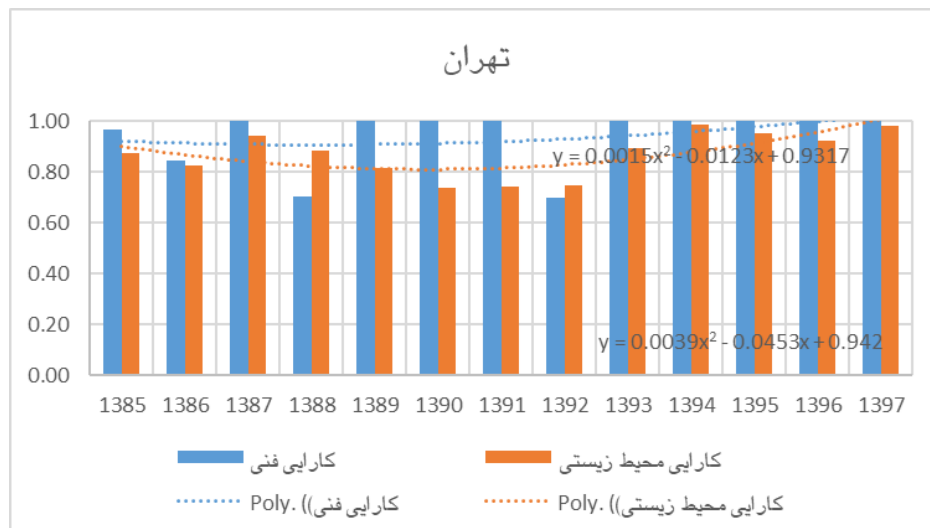
جدول ۴- ادامه.

Table 4- Continued.

استان	1385	1386	1387	1388	1389	1390	1391	1392	1393	1394	1395	1396
خراسان رضوی	0.978	1.155	3.337	0.66	0.991	0.968	0.738	1.054	1	0.897	1.011	0.778
خراسان شمالی	0.148	1.789	1.152	0.572	1.328	1.022	0.81	1.323	1.033	0.89	1.114	0.857
خوزستان	1.791	0.773	1.977	1.328	0.94	1.025	0.956	1	1	1	0.827	0.851
زنجان	0.608	1.195	1.12	0.823	1.01	1	1	1	0.98	0.972	1.099	0.811
سمنان	0.981	0.948	1.223	0.981	0.909	1.03	0.914	0.942	1.186	0.935	1.047	0.837
سیستان و بلوچستان	1	0.998	1.402	1	1	0.926	1.12	0.927	1	1.031	0.975	0.719
فارس	0.975	0.787	0.471	1.046	0.713	1.45	0.711	0.716	2.081	0.979	0.982	0.824
قزوین	0.679	1.137	1.121	1.005	1.007	1.092	0.965	0.979	0.97	0.929	1.232	0.778
قم	0.632	0.991	1.135	1.368	0.542	1.677	0.914	1	1	1	1.026	0.818
کردستان	0.717	1.093	1.051	1	0.872	1.155	1.04	0.85	1.052	1.017	1.015	0.82
کرمان	0.743	0.995	1.319	1.064	0.757	1.465	1.015	0.983	0.991	0.894	1.029	0.83
کرمانشاه	0.824	1.149	1	1	1	1	1	1	1	1	1.024	0.816
کهگیلویه و بویر احمد	0.744	1	1.086	0.877	0.893	1.292	1.124	0.797	0.979	0.844	1.098	0.871
گلستان	0.905	1.087	1.023	0.772	0.929	1.319	0.874	0.947	1.255	0.967	0.922	0.889
لرستان	0.705	1.018	1.168	1.045	0.692	1.277	1.06	0.988	1.009	0.921	1.113	0.794
مازندران	1.421	1	0.961	1.04	1.108	0.932	1.093	1.067	0.786	0.963	0.966	0.877
مرکزی	0.680	0.964	1.351	0.864	0.84	1.572	0.932	0.982	1	0.917	1.041	0.724
هرمزگان	1	0.993	1	1.07	0.992	0.979	1.025	1	1	1	1	0.829
همدان	0.507	1.191	1.131	0.956	0.978	1.154	0.956	0.928	1.069	0.863	1.165	0.783
یزد	1.178	0.878	1.039	1.021	0.973	1.054	0.803	1.925	0	0.99	1	0.876

۳-۴- نتایج کارایی فنی و کارایی محیط‌زیستی

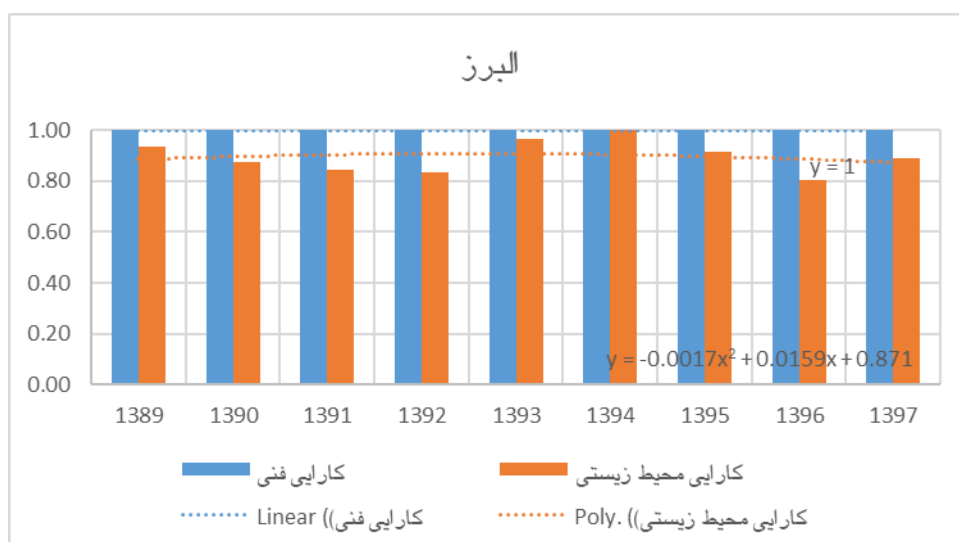
در مطالعه انجام‌شده کارایی فنی و کارایی محیط‌زیستی ۳۱ استان کشور تعیین شده است. کارایی فنی نسبت به ستانده مطلوب اندازه‌گیری می‌شود که در این مطالعه میزان تولید گندم آبی هر استان به‌عنوان ستانده مطلوب در نظر گرفته شده است و بیان‌کننده آن است که هر استان (واحد تصمیم‌گیری) با کمترین میزان استفاده از نهاده‌ها تا چه میزان کارا عمل کرده که محصول گندم آبی را تولید نماید. کارایی محیط‌زیستی نسبت به ستانده نامطلوب اندازه‌گیری می‌شود که در این مطالعه میزان انتشار گاز دی‌اکسید کربن حاصل از تولید گندم آبی هر استان به‌عنوان ستانده نامطلوب در نظر گرفته شده است. همان‌طور که مشاهده می‌گردد از شکل ۵ تا شکل ۷ کارایی فنی و کارایی محیط‌زیستی استان‌های تهران، البرز و کرمانشاه که طبق آمارنامه‌های کشاورزی از سال ۱۳۸۵ تا ۱۴۰۰ بالاترین میانگین مقدار تولید در هکتار را داشته بیان شده است. همچنین از شکل ۸ تا شکل ۱۰ کارایی فنی و کارایی محیط‌زیستی استان‌های سیستان و بلوچستان، خراسان جنوبی و بوشهر کم‌ترین میانگین مقدار تولید در هکتار را داشته گزارش شده است. با توجه به شیب خط روند هر شکل کارایی فنی و کارایی محیط‌زیستی هر استان طی سال‌های زراعی ۱۳۸۵ تا ۱۳۹۷ مورد بررسی قرار می‌گیرد. در شکل ۵ کارایی فنی استان تهران گزارش شده است که طی سال‌های زراعی ۱۳۸۵ تا ۱۳۹۷ کارایی فنی آن روند افزایشی داشته و در سال‌های ۱۳۸۵، ۱۳۸۶، ۱۳۸۸ و ۱۳۹۲ ناکارا بوده و در بقیه سال‌ها کاملاً کارا است. همچنین استان تهران طی سال‌های مورد بررسی به‌طور متوسط بالاترین عملکرد تولید گندم آبی در هکتار را در بین استان‌های دیگر به‌دست آورده است. همان‌طور که مشاهده می‌گردد در شکل ۵ استان تهران از روند افزایشی در کارایی محیط‌زیستی برخوردار است و در سال‌های ۱۳۹۴ و ۱۳۹۷ با ۰/۹۸ بیش‌ترین مقدار کارایی را طی سال‌های مورد بررسی به‌دست آورده است.



شکل ۵- کارایی فنی استان تهران.

Figure 5- Technical efficiency of Tehran province.

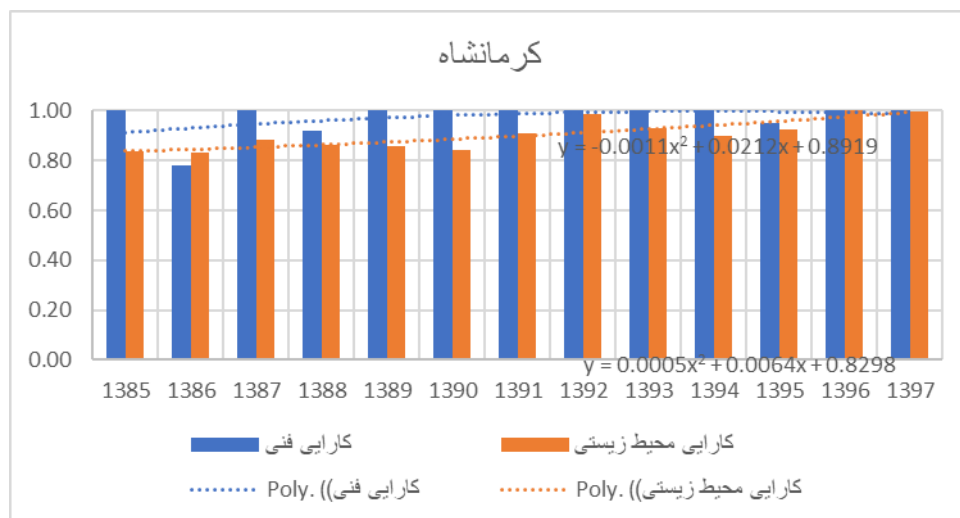
همان‌طور که در شکل ۶ مشاهده می‌گردد استان البرز طی سال‌های زراعی ۱۳۸۹ تا ۱۳۹۷ کارایی فنی کاملاً کارا دارد. همچنین استان البرز طی سال‌های موردبررسی به‌طور متوسط کم‌ترین تعداد نیروی کار در هکتار و سطح زیر کشت در کشور را دارد که طی سال‌های زراعی ۱۳۸۹ تا ۱۳۹۷ به‌طور متوسط بعد از استان فارس بیش‌ترین استفاده از ماشین‌آلات برای هر هکتار کشت گندم آبی به استان البرز اختصاص یافته است. کارایی محیط‌زیستی استان البرز نشان داده شده که روند نزولی دارد. در سال ۱۳۹۴ کارایی محیط‌زیستی این استان کاملاً کارا عمل کرده و در بقیه سال‌ها ناکارا بوده است.



شکل ۶- کارایی فنی استان البرز.

Figure 6- Technical efficiency of Alborz province.

همان‌طور که در شکل ۷ مشاهده می‌گردد کارایی فنی استان کرمانشاه طی سال‌های زراعی ۱۳۸۵ تا ۱۳۹۷ دارای روند افزایشی است و در طی سال‌های موردبررسی کارا عمل کرده به جز سال‌های ۱۳۸۶، ۱۳۸۸ و ۱۳۹۵ که ناکارا بوده است. در شکل ۷ کارایی محیط‌زیستی استان کرمانشاه طی سال‌های زراعی ۱۳۸۵ تا ۱۳۹۷ گزارش شده که روند صعودی دارد و در سال ۱۳۹۶ و ۱۳۹۷ به کارایی محیط‌زیستی کاملاً کارا دست یافته است.

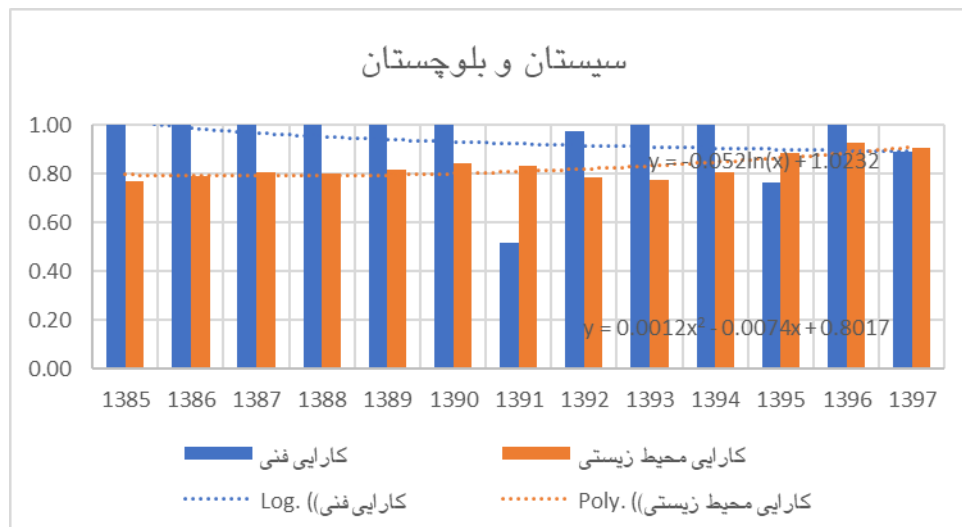


است.

شکل ۷- کارایی فنی استان کرمانشاه.

Figure 7- Technical efficiency of Kermanshah province.

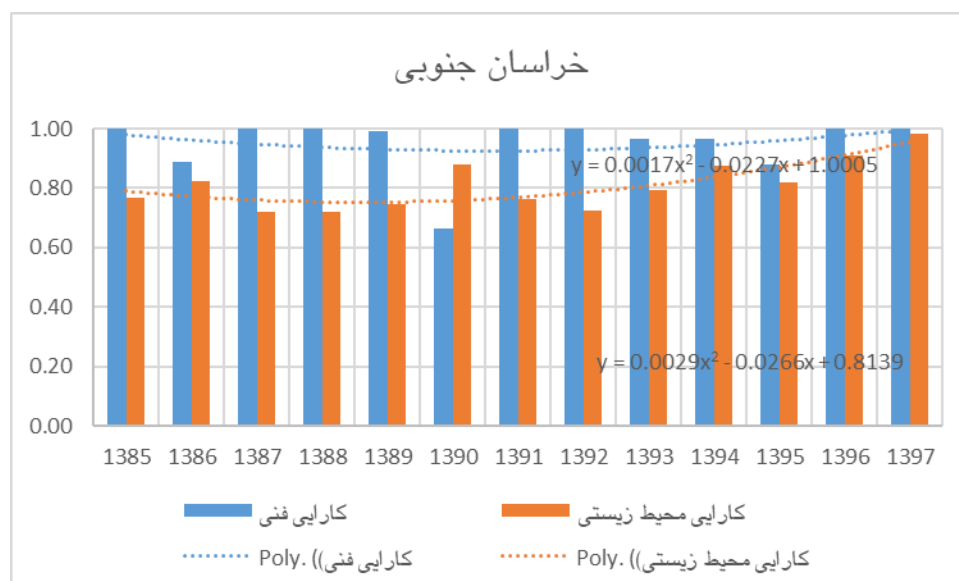
در شکل ۸ کارایی فنی استان سیستان و بلوچستان طی سال‌های زراعی ۱۳۸۵ تا ۱۳۹۷ نشان داده شده است؛ این استان از سال ۱۳۸۵ تا ۱۳۹۰ از منظر کارایی فنی کارا عمل کرده و پس از آن روند نزولی را پیش گرفته است. کارایی محیط‌زیستی استان سیستان و بلوچستان روند افزایشی داشته است که طی سال‌های موردبررسی این استان برای تولید گندم آبی به‌طور متوسط کم‌ترین گاز دی‌اکسید کربن را منتشر کرده است.



شکل ۸- کارایی فنی استان سیستان و بلوچستان.

Figure 8- Technical efficiency of Sistan and Baluchistan province.

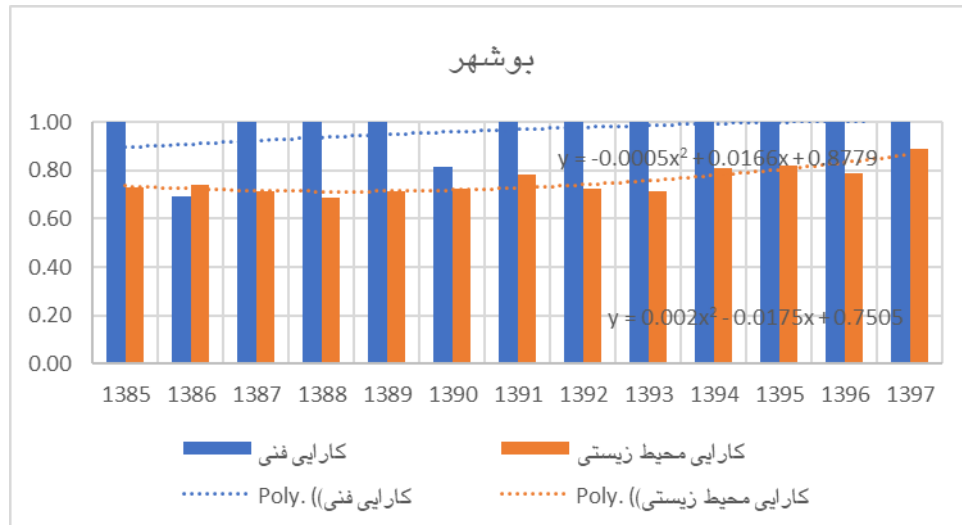
در شکل ۹ استان خراسان جنوبی نشان می‌دهد که در سال‌های ۱۳۸۵، ۱۳۸۷، ۱۳۸۸، ۱۳۹۱، ۱۳۹۲، ۱۳۹۶ و ۱۳۹۷ کارایی فنی استان کارا عمل کرده است و طی سال‌های موردبررسی در کارایی فنی روند نزولی دارد. کارایی محیط‌زیستی استان خراسان جنوبی روند افزایشی داشته و در سال ۱۳۹۷ با ۰/۹۸ بالاترین مقدار کارایی محیط‌زیستی را به‌دست آورده است. همچنین استان خراسان جنوبی طی سال‌های موردبررسی به‌طور متوسط کم‌ترین مصرف سموم شیمیایی را در کشت گندم آبی کشور دارد.



شکل ۹- کارایی فنی استان خراسان جنوبی.

Figure 9- Technical efficiency of South Khorasan province.

همان‌طور که در شکل ۱۰ مشاهده می‌گردد کارایی فنی استان بوشهر طی سال‌های زراعی ۱۳۸۵ تا ۱۳۹۷، روند افزایشی داشته و در سال‌های ۱۳۸۶ و ۱۳۹۰ ناکارا هست و در بقیه سال‌های مورد بررسی کاملاً کارا عمل کرده است. کارایی محیط‌زیستی استان بوشهر روند افزایشی داشته و در سال ۱۳۹۷ با ۰/۸۹ بیش‌ترین مقدار کارایی را طی سال‌های مورد بررسی به‌دست آورده است.



شکل ۱۰- کارایی فنی استان بوشهر.

Figure 10- Technical efficiency of Bushehr province.

بر اساس نتایج حاصل از پژوهش طی سال‌های زراعی ۱۳۸۵ تا ۱۳۹۷ استان‌هایی که در کارایی فنی از روند افزایشی برخوردار هستند عبارت‌اند از استان‌های آذربایجان شرقی، البرز، ایلام، بوشهر، تهران، جنوب کرمان، خراسان شمالی، خوزستان، زنجان، فارس، قم، کردستان، کرمان، کرمانشاه، گلستان، لرستان، مازندران، مرکزی، هرمزگان، همدان و یزد. همچنین بر اساس نتایج به‌دست آمده، استان‌هایی که در کارایی محیط‌زیستی روند افزایشی دارند عبارت‌اند از استان‌های اردبیل، ایلام، بوشهر، تهران، چهارمحال و بختیاری، خراسان جنوبی، زنجان، سمنان، سیستان و بلوچستان، قزوین، قم، کرمان، کرمانشاه، مازندران، مرکزی، همدان و یزد. لازم به ذکر است به دلیل زیاد شدن حجم مقاله از تحلیل و آوردن شکل‌های مرتبط با سایر استان‌ها پرهیز شده است.

جدول ۵- شاخص مالم کوئیست تحت دسترسی مدیریتی: عدم تقاطع مرزی.

Table 5- Malmquist index under managerial access: no border crossing.

استان	1385	1386	1387	1388	1389	1390	1391	1392	1393	1394	1395	1396
آذربایجان شرقی	2.368	0.864	0.836	1.142	0.809	1	1.359	0.879	0.932	1.414	0.668	1.371
آذربایجان غربی	1.631	0.959	0.932	0.962	1.113	0.863	1.174	0.835	1	1.087	0.914	1.203
اردبیل	1.069	1	1	1	1.18	0.812	1.431	0.899	1.024	1.008	1.046	1.209
اصفهان	1.93	1.443	1.07	1.081	0.738	0.934	1.218	0.952	0.081	1.19	1.191	1.974
البرز					0.994	1.112	0.921	1	1	1.045	0.993	
ایلام	1.521	0.716	0.844	0.059	1.05	0.916	1.093	1	1	1	1.789	
بوشهر	1.237	0.878	1.051	1.088	1.029	0.88	1	1.029	1	1.007	1	1.053
تهران	1.703	0.911	0.941	1	1.034	0.94	1.525	0.687	1	1	1	1.209
جنوب کرمان	1.004	0.991	1.045	0.733	1.054	0.929	0.962	0.833	0.928	0.977	1	1.157
چهارمحال و بختیاری	1.511	0.866	0.968	1.439	1.078	0.774	1.054	0.977	0.947	1.018	1.103	0.982
خراسان جنوبی	1.954	1.178	1.145	0.715	1.575	0.708	1.25	1.095	1	0.986	1.094	1.004
خراسان رضوی	1.022	0.866	0.3	1.515	1.009	1.033	1.356	0.948	0.968	1.115	0.989	1.286
خراسان شمالی	1.745	0.559	0.868	1.748	0.753	0.978	1.234	0.756	1	1.124	0.897	1.167
خوزستان	0.559	1.294	0.506	0.753	1.063	0.976	1.046	1	1.02	1	1	1.175
زنجان	1.645	0.837	0.893	1.215	1	1	1	1	0.846	1.029	0.91	1.233

1.194	0.955	1.07	1	1.061	1.061	0.971	1.1	1.019	0.817	1.055	1.02	سمنان
1.392	1.026	0.97	0.481	1.079	0.893	1.08	1	1	0.713	1.002	1	سیستان و بلوچستان
1.213	1.019	1.021	1.079	1.398	1.407	0.69	1.403	0.956	2.123	1.27	1.026	فارس
1.286	0.811	1.077	1.398	1.021	1.037	0.916	1	1	0.892	0.88	1.473	قزوین
1.222	0.974	1	1.021	1	1.094	0.596	1.844	0.731	0.881	1.009	1.583	قم
1.219	0.986	0.983	1	1.176	0.962	0.866	1.147	1	0.951	0.915	1.395	کردستان
1.205	0.972	1.118	1.176	1.018	0.985	0.683	1.321	0.94	0.758	1.005	1.345	کرمان
1.226	0.977	1	1	1	1	1	1	1	1	0.87	1.214	کرمانشاه
1.148	0.911	1.185	1.254	1.254	0.889	0.774	1.12	1.14	0.921	1	1.344	کهگیلویه و بویر احمد
1.125	1.084	1.034	0.797	1.055	1.144	0.758	1.076	1.295	0.977	0.92	1.105	گلستان
1.259	1.898	1.086	1	1.012	0.943	0.783	1.445	0.957	0.856	0.982	1.419	لرستان
1.141	1.035	1.039	1.273	0.937	0.915	1.074	0.903	0.961	1.04	1	0.704	مازندران
1.381	0.961	1.09	1	1.018	1.073	0.636	1.191	1.157	0.74	1.037	1.471	مرکزی
1.206	1	1	1	1	0.975	1.021	1.008	0.935	1	1.007	1	هرمزگان
1.277	0.859	1.159	0.936	1.077	1.046	0.867	1.022	1.046	0.884	0.839	1.972	همدان
1.142	1	1.01	1.081	1	1.245	0.949	1.028	0.98	0.963	1.139	0.849	یزد

جدول ۶- شاخص مالام کوئیست تحت دسترسی طبیعی: وقوع تقاطع مرزی.

Table 6- Malmquist index under natural access: occurrence of border crossing.

1396	1395	1394	1393	1392	1391	1390	1389	1388	1387	1386	1385	استان
1.825	2.018	2.021	1.933	1.948	2.134	2	1.885	2.074	2.205	1.869	2.435	آذربایجان شرقی
1.834	2.028	2.058	2	2.034	1.882	1.964	1.974	2.017	2.074	1.959	2.361	آذربایجان غربی
1.848	1.984	1.992	2.024	2.002	2.248	1.943	1.9	2	2	2	2.07	اردبیل
1.818	1.956	2.04	1.973	1.954	1.966	1.992	1.134	2.563	1.926	2.483	1.857	اصفهان
2.007	2.046	2	2	2.088	2.115	2.006						البرز
1.848	2	2	2	2	2.095	1.991	1.953	2.06	2.193	1.74	1.693	ایلام
1.951	2	2.007	2	2.029	2	1.884	1.972	2.09	1.952	1.854	1.839	بوشهر
1.935	2	2	2	7.989	2.045	2.064	2.034	2	2.064	1.913	2.403	تهران
1.87	2.001	2.024	1.93	2.038	2.102	1.753	1.737	1.864	1.957	1.991	1.951	جنوب کرمان
1.836	2.009	1.987	1.961	1.944	2.013	1.938	1.88	2.069	2.033	1.871	2.186	چهارمحال و بختیاری

جدول ۶- ادامه.

Table 6- Continuation.

استان	1385	1386	1387	1388	1389	1390	1391	1392	1393	1394	1395	1396
خراسان جنوبی	3.412	2.185	1.878	2.129	2.155	2.008	2.264	2.085	2.003	2.076	1.789	1.775
خراسان رضوی	2.013	1.871	4.928	2.366	2.187	1.977	2.382	2.055	2.001	2.067	2.172	1.985
خراسان شمالی	4.144	1.62	2.159	2.182	1.856	1.896	2.019	1.977	1.935	2.006	1.979	1.896
خوزستان	1.896	2.313	3.133	1.995	2.064	2.025	2.047	2	2	2	2	1.857
زنجان	2.218	1.844	2.123	2.201	2	2	2	2	1.981	2.017	1.992	1.837
سمنان	1.981	2.055	2.235	1.981	2.102	2.03	1.966	1.929	2.041	1.993	1.986	1.845
سیستان و بلوچستان	2	2.002	2.435	2	2	1.928	2.07	2.081	2	2.031	2.026	1.965
فارس	1.81	2.286	1.564	2.252	1.916	1.955	2.265	1.622	2.162	1.964	2.019	1.833
قزوین	2.469	1.883	2.125	2.04	2.018	1.933	1.929	1.97	2.02	2.004	2.124	1.964
قم	2.468	2.009	2.14	2.364	2.245	2.109	2.096	2	2	2	2.026	1.828
کردستان	2.198	1.917	2.052	2	1.947	1.954	1.962	2.031	1.951	2.05	2.015	1.829
کرمان	2.122	2.005	2.341	2.065	1.929	1.905	1.985	2.018	1.993	2.059	1.972	1.838
کرمانشاه	1.832	1.875	2	2	2	2	2	2	2	2.05	1.977	1.848
کهگیلویه و بویر احمد	2.369	2	2.088	2.027	1.95	1.966	2.207	2.01	2.014	2.007	1.913	1.875
گلستان	1.908	1.922	2.023	1.997	1.756	1.886	2.156	2.071	2.025	2.009	1.877	1.744
لرستان	2.252	1.982	2.175	2.006	2.039	2.049	2.008	1.971	1.967	2.001	1.961	1.929
مازندران	2.206	2	1.962	1.962	2.11	2.075	2.095	2.068	1.992	1.96	2.036	1.881
مرکزی	2.515	2.038	2.377	2.163	1.847	2.025	2.074	2.019	2	2.086	2.034	1.871
هرمزگان	2	2.007	2	2.071	2.008	1.979	1.976	2	2	2	2	1.837
همدان	2.439	1.846	2.135	2.046	1.979	2.103	2.046	1.929	2.044	1.973	1.961	1.841
یزد	2.185	2.144	2.039	2.021	2.028	2.055	2.259	2	2.083	2.01	2	1.88

جدول ۷- شاخص مالِم کوئیست تحت دسترسی مدیریتی: وقوع تقاطع مرزی.

Table 7- Malmquist index under management access: occurrence of border crossing.

استان	1385	1386	1387	1388	1389	1390	1391	1392	1393	1394	1395	1396
آذربایجان شرقی	2.435	1.869	2.205	2.074	1.885	2	2.134	1.948	1.933	2.021	2.018	1.825
آذربایجان غربی	2.361	1.959	2.074	2.017	1.974	1.964	1.882	2.034	2	2.058	2.028	1.834
اردبیل	2.07	2	2	2	1.9	1.943	2.248	2.002	2.024	1.992	1.984	1.848
اصفهان	1.857	2.483	1.926	2.563	1.134	1.992	1.966	1.954	1.973	2.04	1.956	1.818
البرز						2.006	2.115	2.088	2	2	2.046	2.007
ایلام	1.693	1.74	2.193	2.06	1.953	1.991	2.095	2	2	2	2	1.848
بوشهر	1.839	1.854	1.952	2.09	1.972	1.884	2	2.029	2	2.007	2	1.951
تهران	2.403	1.913	2.064	2	2.034	2.064	2.045	7.989	2	2	2	1.935
جنوب کرمان	1.951	1.991	1.957	1.864	1.737	1.753	2.102	2.038	1.93	2.024	2.001	1.87
چهارمحال و بختیاری	2.186	1.871	2.033	2.069	1.88	1.938	2.013	1.944	1.961	1.987	2.009	1.836
خراسان جنوبی	3.412	2.185	1.878	2.129	2.155	2.008	2.264	2.085	2.003	2.076	1.789	1.775
خراسان رضوی	2.013	1.871	4.928	2.366	2.187	1.977	2.382	2.055	2.001	2.067	2.172	1.985
خراسان شمالی	4.144	1.62	2.159	2.182	1.856	1.896	2.019	1.977	1.935	2.006	1.979	1.896
خوزستان	1.896	2.313	3.133	1.995	2.064	2.025	2.047	2	2	2	2	1.857
زنجان	2.218	1.844	2.123	2.201	2	2	2	2	1.981	2.017	1.992	1.837
سمنان	1.981	2.055	2.235	1.981	2.102	2.03	1.966	1.929	2.041	1.993	1.986	1.845
سیستان و بلوچستان	2	2.002	2.435	2	2	1.928	2.07	2.081	2	2.031	2.026	1.965
فارس	1.81	2.286	1.564	2.252	1.916	1.955	2.265	1.622	2.162	1.964	2.019	1.833
قزوین	2.469	1.883	2.125	2.04	2.018	1.933	1.929	1.97	2.02	2.004	2.124	1.964

Table 7- Continuation.

استان	1385	1386	1387	1388	1389	1390	1391	1392	1393	1394	1395	1396
قم	2.468	2.009	2.14	2.364	2.245	2.109	2.096	2	2	2	2.026	1.828
کردستان	2.198	1.917	2.052	2	1.947	1.954	1.962	2.031	1.951	2.05	2.015	1.829
کرمان	2.122	2.005	2.341	2.065	1.929	1.905	1.985	2.018	1.993	2.059	1.972	1.838
کرمانشاه	1.832	1.875	2	2	2	2	2	2	2	2.05	1.977	1.848
کهگیلویه و بویر احمد	2.369	2	2.088	2.027	1.95	1.966	2.207	2.01	2.014	2.007	1.913	1.875
گلستان	1.908	1.922	2.023	1.997	1.756	1.886	2.156	2.071	2.025	2.009	1.877	1.744
لرستان	2.252	1.982	2.175	2.006	2.039	2.049	2.008	1.971	1.967	2.001	1.961	1.929
مازندران	2.206	2	1.962	1.962	2.11	2.075	2.095	2.068	1.992	1.96	2.036	1.881
مرکزی	2.515	2.038	2.377	2.163	1.847	2.025	2.074	2.019	2	2.086	2.034	1.871
هرمزگان	2	2.007	2	2.071	2.008	1.979	1.976	2	2	2	2	1.837
همدان	2.439	1.846	2.135	2.046	1.979	2.103	2.046	1.929	2.044	1.973	1.961	1.841
یزد	2.185	2.144	2.039	2.021	2.028	2.055	2.259	2	2.083	2.01	2	1.88

۵- نتیجه گیری

در این مطالعه با لحاظ کردن میزان انتشار گاز دی اکسید کربن حاصل از تولید گندم آبی با استفاده شاخص مالم کوئیست برای اندازه گیری بهره‌وری مبتنی بر هیفایت تحلیل پوششی داده‌ها با استفاده از نرم افزار *Excel.2013* و با داده‌هایی که از طریق سازمان وزارت جهاد کشاورزی کشور و سازمان تحقیقات، آموزش و ترویج کشاورزی کرج و مرکز توسعه مکانیزاسیون کشاورزی برای ۳۱ استان کشور طی سال‌های زراعی ۱۳۸۵ تا ۱۳۹۷ گردآوری شده و مورد بررسی قرار گرفته است. در این مطالعه با استفاده از ضرایب انتشار میزان انتشار دی اکسید کربن هر نهاده تولیدی محاسبه و به عنوان ستانده نامطلوب در نظر گرفته شده و به وسیله شاخص بهره‌وری مالم کوئیست میزان کارایی هر واحد تصمیم‌گیری با لحاظ دیدگاه محیط‌زیستی بررسی شد. در این مطالعه مقدار تولید گندم به عنوان ستانده مطلوب، میزان انتشار دی اکسید کربن از تولید گندم آبی به عنوان ستانده نامطلوب همچنین متوسط مقدار تامین آب از منابع مختلف، هزینه آماده‌سازی زمین، مقدار مصرف کودهای شیمیایی، مقدار مصرف سموم شیمیایی، تعداد نیروی کار، تعداد ساعت استفاده از ماشین‌آلات، مقدار مصرف کود حیوانی و مقدار بذر مصرفی به عنوان نهاده مورد استفاده قرار گرفته است. هر استان در کشت محصولات کشاورزی می‌تواند بین توسعه کشاورزی و حفاظت از محیط‌زیست تعادل برقرار کند تا به یک وضعیت پایدار برسد. با توجه به نتایج به دست آمده، فرضیه‌های پژوهش مورد تحلیل و بررسی قرار می‌گیرند.

فرضیه ۱- کارایی محیط‌زیستی در تولید گندم آبی در استان‌های ایران طی سال‌های مورد بررسی کاهشی بوده است.

نتایج کارایی محیط‌زیستی در تولید گندم آبی در ۳۱ استان کشور طی سال‌های زراعی ۱۳۸۵ تا ۱۳۹۷ نشان می‌دهد که کارایی محیط‌زیستی در استان‌های آذربایجان شرقی، آذربایجان غربی، اصفهان البرز، جنوب کرمان، خراسان رضوی، خراسان شمالی، خوزستان، فارس، کردستان، کهگیلویه و بویر احمد، گلستان، لرستان، هرمزگان دارای خط روند کاهشی است و **فرضیه ۱** مبنی بر کاهشی بودن کارایی محیط‌زیستی در تولید گندم در این استان‌ها پذیرفته می‌شود، اما برخلاف **فرضیه ۱** کارایی محیط‌زیستی در استان‌های اردبیل، ایلام، بوشهر، تهران، چهارمحال و بختیاری، خراسان جنوبی، زنجان، سمنان، سیستان و بلوچستان، قزوین، قم، کرمان، کرمانشاه، مازندران، مرکزی، همدان و یزد دارای خط روند افزایشی است.

فرضیه ۲- کارایی فنی در تولید گندم آبی در استان‌های ایران طی سال‌های مورد بررسی افزایشی بوده است.

نتایج کارایی محیط‌فنی در تولید گندم آبی در ۳۱ استان کشور طی سال‌های زراعی ۱۳۸۵ تا ۱۳۹۷ نشان می‌دهد که کارایی فنی در استان‌های آذربایجان شرقی، البرز، ایلام، بوشهر، تهران، جنوب کرمان، خراسان شمالی، خوزستان، زنجان، فارس، قم، کردستان، کرمان، کرمانشاه، گلستان، لرستان، مازندران، مرکزی، هرمزگان، همدان و یزد دارای خط روند افزایشی است و **فرضیه ۲** مبنی بر افزایشی بودن کارایی فنی در تولید گندم در این استان‌ها پذیرفته می‌شود، ولی برخلاف **فرضیه ۲** کارایی فنی در استان‌های آذربایجان غربی، اردبیل، اصفهان، چهارمحال و بختیاری، خراسان جنوبی، خراسان رضوی، سمنان، سیستان و بلوچستان، قزوین، کهگیلویه و بویر احمد دارای خط روند کاهشی است.

با توجه به هدف پژوهش، نتایج کارایی فنی و کارایی محیط‌زیستی تولیدکنندگان گندم آبی در ۳۱ استان کشور طی سال‌های زراعی ۱۳۸۵-۱۳۹۷ مورد ارزیابی قرار گرفت. طی سال‌های زراعی موردبررسی استان کرمانشاه که در کشت گندم آبی کارا و روی منحنی کارایی قرار دارد در اولویت کشت گندم آبی قرار گیرد. همچنین استان فارس با اصلاح اراضی کشت گندم آبی و استفاده از ماشین‌آلات در مقیاس کارا به میزان انتشار گاز دی‌اکسید کربن حاصل از کشت گندم آبی توجه نماید. استان خوزستان با بیش‌ترین سطح زیر کشت گندم آبی کشور، بیش‌ترین میزان آب مصرفی، بذری مصرفی و کود شیمیایی را استفاده می‌کند که با توجه به نتایج به‌دست آمده مازاد نهاده داشته و امکان کاهش نهاده وجود دارد.

با توجه به نتایج مطالعه انجام شده، پیشنهادهایی جهت بهبود شرایط تولیدکنندگان گندم آبی استان‌های کشور از نظر کارایی فنی و کارایی محیط‌زیستی و انجام پژوهش‌های آتی ارائه می‌گردد: کارایی فنی و کارایی محیط‌زیستی را می‌توان برای سایر محصولات زراعی محاسبه نمود و میزان انتشار گازهای گلخانه‌ای CO_2 ، N_2O و CH_4 را به‌عنوان ستانده نامطلوب برآورد کرد. الگوی شاخص بهره‌وری مال‌کوئیست را می‌توان بر اساس پهنه‌بندی آگرواکولوژیکی برای هر استان یا هر کشور انجام داد. با برگزاری دوره‌ها و کلاس‌های لازم جهت افزایش دانش و آگاهی کشاورزان نسبت به آثار جانبی تولید گندم آبی بر محیط‌زیست، تولیدکنندگان گندم آبی را ترغیب به استفاده از کودهای زیستی و بهینه‌سازی مصرف نهاده‌های شیمیایی کنند. با توجه به گرم شدن کره زمین و پدیده تغییر اقلیم استان‌هایی که کارایی محیط‌زیستی بیشتری در تولید گندم آبی دارند در اولویت کشت قرار بگیرند.

تشکر و قدردانی

بدین‌وسیله از کلیه بزرگوارانی که در مراحل انجام این تحقیق ما را یاری نمودند صمیمانه تشکر و قدردانی می‌نمایم.

منابع مالی

این تحقیق برگرفته از پایان‌نامه کارشناسی ارشد نویسنده اول است که با حمایت مالی دانشگاه فردوسی مشهد انجام شده است.

تعارض با منافع

نویسندگان این مقاله بیان می‌کنند که هیچ تعارضی در منافع مربوط به مطالب ارائه‌شده در این مقاله وجود ندارد. تمامی نویسندگان نسخه نهایی را مشاهده و تایید نموده و تضمین می‌کنند که این مقاله حاصل کار اصلی آن‌ها است، قبلاً به جای دیگری ارسال نشده و در دست انتشار در جای دیگری نیست.

منابع

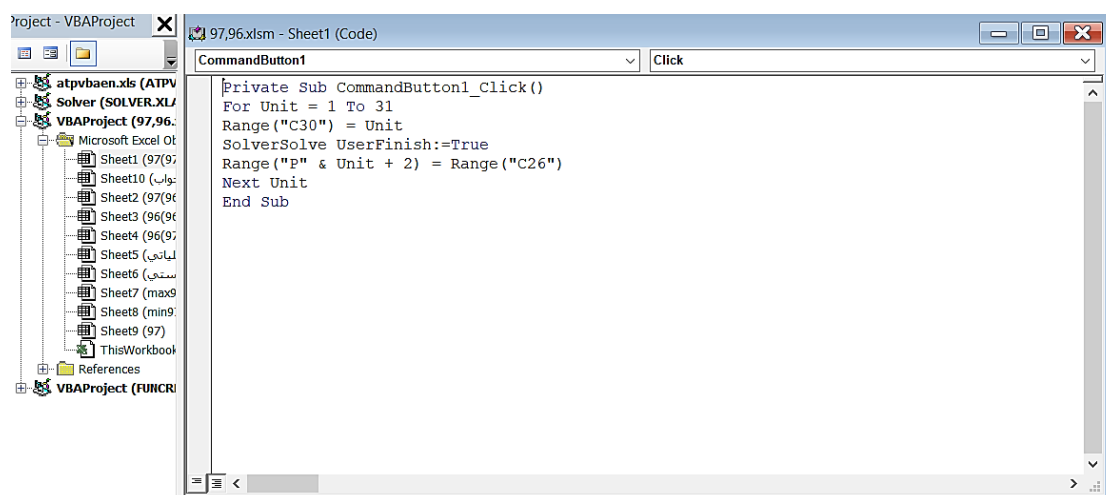
- [1] Liang, S., Xu, M., & Zhang, T. (2013). Life cycle assessment of biodiesel production in China. *Bioresource technology*, 129, 72–77. DOI:10.1016/j.biortech.2012.11.037
- [2] Vermeulen, S. J., Campbell, B. M., & Ingram, J. S. I. (2012). Climate change and food systems. *Annual review of environment and resources*, 37, 195–222. DOI:10.1146/annurev-environ-020411-130608
- [3] Læg Reid, M., Bockman, O. C., & Kaarstad, O. (1999). *Agriculture, fertilizers and the environment*. CABI Publishing.
- [4] FAO. (2017). *The state of food and agriculture*. [http://unisz.bg/truni11/wpcontent/uploads/biblioteka/file/TUNI10042440\(1\).pdf](http://unisz.bg/truni11/wpcontent/uploads/biblioteka/file/TUNI10042440(1).pdf)
- [5] Mickwitz, P., Melanen, M., Rosenström, U., & Seppälä, J. (2006). Regional eco-efficiency indicators-a participatory approach. *Journal of cleaner production*, 14(18), 1603–1611.
- [6] Amid, J. (2007). The dilemma of cheap food and self-sufficiency: the case of wheat in Iran. *Food policy*, 32(4), 537–552. DOI:10.1016/j.foodpol.2006.11.001
- [7] Najafi, B. (2001). Examining government policies in the field of wheat: challenges and approaches. *Agricultural economics and development*, 9(34), 7–32. (In Persian). <https://www.sid.ir/paper/24410/fa>

- [8] Agricultural Statistics. (2021). *Ministry of Agriculture-Jahad, planning and economic deputy, information and communication technology center*. <https://irandataportal.syr.edu/ministry-of-agriculture>.
- [9] Rezvantaleb, N., Soltani, A., Zeinali, E., & Foroughnia, A. (2019). Study of energy indicators and greenhouse gas emissions in wheat production in Golestan Province. *Journal of agroecology*, 9(1), 17-38. **(In Persian)**. <https://www.sid.ir/paper/405678/en>
- [10] Vahedi, A. (2020). An analysis and optimization of energy consumption for irrigated wheat production using data envelopment approach (case study in Alborz Province). *Agricultural mechanization and systems research*, 20(73), 173-192. **(In Persian)**. https://amsr.areeo.ac.ir/article_119278_en.html?lang=fa
- [11] Balali, H., Shahbazi, H., Seid Mohammadi, Z., & Bani Asadi, M. (2021). Application of non-normally distributed stochastic plateau function in determining the optimal economic level of chemical fertilizer inputs usage in irrigated cereals (irrigated wheat and barley crops). *Journal of agricultural economics and development*, 35(1), 79-92. **(In Persian)**. https://jead.um.ac.ir/article_39984_en.html
- [12] Elasaag, Y. H., & Alarcón, S. (2017). Global malmquist indices of productivity change in Egyptian wheat production. *Spanish journal of agricultural research*, 15(2), 3. DOI:10.5424/sjar/2017152-10548
- [13] Hong, C. Y., Lee, Y. C., Tsai, M. C., & Tsai, Y. C. (2018). Agricultural sector input technical coefficients, demand changes and CO2 emissions after the financial crisis: environmental input-output growth factor model approach. *International journal of energy economics and policy*, 8(6), 339-345.
- [14] Ilahi, S., Wu, Y., Raza, M. A. A., Wei, W., Imran, M., & Bayasgalankhuu, L. (2019). Optimization approach for improving energy efficiency and evaluation of greenhouse gas emission of wheat crop using Data Envelopment Analysis. *Sustainability (Switzerland)*, 11(12), 3409. DOI:10.3390/SU11123409
- [15] Wen, L., & Li, H. (2022). Estimation of agricultural energy efficiency in five provinces: based on data envelopment analysis and Malmquist index model. *Energy sources, part a: recovery, utilization and environmental effects*, 44(2), 2900-2913. DOI:10.1080/15567036.2019.1651798
- [16] Ghasemi-Mobtaker, H., Kaab, A., & Rafiee, S. (2020). Application of life cycle analysis to assess environmental sustainability of wheat cultivation in the west of Iran. *Energy*, 193, 116768. DOI:10.1016/j.energy.2019.116768
- [17] Emami Meibodi, A. (2005). *The principles of efficiency and productivity measurement (scientific-applied)*. Publications of the Institute of Business Studies and Research. **(In Persian)**. <https://www.gisoom.com/book/1342849/>
- [18] Abtahi, S. H., & Kazemi, B. (2015). *Productivity (principles, basics, methods of increase and measurement)*. Fozzhan. **(In Persian)**. <https://www.gisoom.com/book/11184907/>
- [19] Sueyoshi, T., & Goto, M. (2018). *Environmental assessment on energy and sustainability by data envelopment analysis*. John Wiley & Sons.
- [20] Charnes, A., Cooper, W. W., & Rhodes, E. (1978). Measuring the efficiency of decision making units. *European journal of operational research*, 2(6), 429-444. [https://doi.org/10.1016/0377-2217\(78\)90138-8](https://doi.org/10.1016/0377-2217(78)90138-8)
- [21] Sabouhi Sabouni, M. (2012). *The application of mathematical programming in agricultural economics with emphasis on the use of Excel software*. Zabul University Publications. **(In Persian)**. <https://daneshnegar.com/fa/product/47858/>
- [22] Lotfalipour, M. R., & Ashena, M. (2010). An analysis of factors that influence carbon dioxide emission in Iran's economy. *Energy economics review*, 7(24), 121-145. **(In Persian)**. <https://www.sid.ir/paper/99632/fa>
- [23] Lal, R. (2004). Soil carbon sequestration in India. *Climatic change*, 65(3), 277-296. <https://link.springer.com/article/10.1023/B:CLIM.0000038202.46720.379>
- [24] Pishgar-Komleh, S. H., Omid, M., & Heidari, M. D. (2013). On the study of energy use and GHG (greenhouse gas) emissions in greenhouse cucumber production in Yazd province. *Energy*, 59, 63-71. <https://doi.org/10.1016/j.energy.2013.07.037>
- [25] Dyer, J. A., & Desjardins, R. L. (2006). Carbon dioxide emissions associated with the manufacturing of tractors and farm machinery in Canada. *Biosystems engineering*, 93(1), 107-118. <https://doi.org/10.1016/j.biosystemseng.2005.09.011>

- پیوست الف

[illegible]

شکل الف-۱- تعیین انواع کارایی سال ۱۳۹۶-۱۳۹۷



شکل الف-۲- کد ویژوال بیسیک.
Figure A. 2- Visual Basic code.